

TARTU ÜLIKOOL
Arstiteaduskond
Biokeemia instituut

Külli Teder

**Angiotensiini konverteeriva ensüümi inhibeerivate
raviainete antioksüdantsuse-põhine võrdlus**

Magistriväitekiri biomeditsiini erialal

Juhendajad:

Ph.D. Mihkel Zilmer

Ph.D. Peep Veski

Tartu 2006

SISUKORD

SISUKORD.....	2
PUBLIKATSIOONIDE LOETELU	4
KASUTATUD LÜHENDID.....	5
SISSEJUHATUS	7
KIRJANDUSE ÜLEVAADE.....	9
Reaktiivsed osakesed	9
Oksüdatiivne stress	10
Antioksüdantsus ja antioksüdandid.....	11
AKE inhibiitorid	13
TÖÖ EESMÄRGID.....	16
MATERJALID JA MEETODID.....	17
Uurimismaterjal	17
Kaptopriil	17
Ramipriil.....	18
Fosinopriil	19
Meetodid	21
Totaalne antioksüdantne mahtuvus (TAS).....	21
Hüdroksüüradikaalide eliminatsiooni mõõtmine	21
LDL oksüresistentsuse (lagfaasi) mõõtmine	22
Erütrotsüütide deformeeritavuse hindamine kromatograafilise migratsiooni kaudu ..	24
Andmete statistiline analüüs.....	25
TULEMUSED JA ARUTELU.....	26
Kaptopriil	26
TAS ja hüdroksüüradikaali elimineerimisvõime	26
Toime LDL oksüresistentsusele	26
Toime erütrotsüütide deformatsioonile	26
Ramiprlaat.....	27
TAS ja hüdroksüüradikaali elimineerimisvõime	27
Toime LDL oksüresistentsusele	28
Toime erütrotsüütide deformatsioonile	28
Fosinoprlaat.....	29
TAS ja hüdroksüüradikaali elimineerimisvõime	29
Toime LDL oksüresistentsusele	29
Toime erütrotsüütide deformatsioonile	29
Tulemuste analüüs.....	30
JÄRELDUSED.....	35

KOKKUVÕTE	36
KASUTATUD KIRJANDUS	38
SUMMARY	42
TÄNUVALDUSED	44
PUBLIKATSIOONID	45

PUBLIKATSIOONIDE LOETELU

- I. Teder K, Zilmer K, Kals J, Zilmer M. AKE inhibiitorite toime erütrotsüütide rauast tingitud deformatsiooni muutustele. Eesti Arst, 2004, 83 (8): 515-519.

- II. Teder K, Zilmer M, Kals J, Bender L, Kullisaar T, Hein H, Põder P, Pulges A, Zilmer K. Captopril expresses antioxidant activity at therapeutic concentrations on different models (manuscript).

KASUTATUD LÜHENDID

ABTS – 2,2'-azino-di-[3-etylbensotiasoliin-sulfonaat]

AKE – angiotensiini konverteeriv ensüüm

CAT – katalaas

CD – dieenkonjugaadid

EDTA – etüleendiamintetraatsetaat

EKM – erütrotsüütide kromatograafiline migratsioon

FAD – flaviinadeniindinukleotiid

GSH – glutatioon (redutseeritud vorm)

GSHPx – glutatiooni peroksüdaas

GSSG – glutatiooni disulfiid (oksüdeeritud vorm)

GSSGRed – glutatiooni reduktaas

H_2O_2 – vesinikperoksiid

HDL – kõrge tihedusega lipoproteiin

HNO_2 – lämmastikushape

HOCl – hüpokloorishape

LDL – madala tihedusega lipoproteiin

L^\bullet – rasvhappe vaba radikaal

LOO^\bullet – rasvhappe (lipiidi) peroksüüradikaal

$LOOH$ – rasvhappe hüdroperoksiid

LP – lipiidide peroksüdatsioon

N_2O_4 – dilämmastiktetraoksiid

NADP – nikotiinamiidadeniindinukleotiifosfaat

NADPH – nikotiinamiidadeniindinukleotiifosfaadi redutseeritud vorm

NO^\bullet – lämmastikoksiidi radikaal

NO_2^\bullet – lämmastikdioksiidi radikaal

1O_2 – ergastatud hapnik

$O_2^\bullet^-$ – superoksiidi radikaal

O_3 – osoon

OH^\bullet – hüdroksüüradikaal

$ONOO^-$ – peroksünitrit

oxLDL – oksüdeeritud madala tihedusega lipoproteiin

OxS – oksüdatiivne stress

PBS – fosfaatpuhver
PUFA – polüküllastamata rasvhape
RNS – reaktiivsed lämmastiku osakesed
ROS – reaktiivsed hapniku osakesed
SOD – superoksiidi dismutaas
TAS – totaalne antioksüdantne mahtuvus
THA – tereftaalhape
VLDL – väga madala tihedusega lipoproteiin
VR – vaba radikaal

SISSEJUHATUS

Oksüdatiivne stress (OxS) avaldub biomolekulide normaalsetest erineva oksüdatsiooni poolt rakkudele tekitatud kahjustusena, mis on põhjustatud reaktiivsete hapniku osakeste (*reactive oxygen species*, ROS) hulga suurenemisest ning antioksüdantse potentsiaali vähenemisest (Zalba *et al.* 2001). Ehk teisisõnu on oksüdatiivne stress pro-oksüdantide ja antioksüdantide omavahelise tasakaalu häire pro-oksüdantide kasuks, mis võib viia potentsiaalse biokahjustuseni (Khanna 2000).

Elusorganismis on hapniku vabad radikaalid jt. reaktiivsed osakesed piiratud koguses vajalikud fagotsütoosis, prostaglandiinide ja leukotrieenide biosünteesis, biomembraanide fosfolipiidiidide uuenemises, signaali ülekande vahendamises, ksenobioottikumide kahjutustamises. Vabade radikaalide jt. reaktiivsete osakeste hulga reguleerimiseks funktsioneerib organismis antioksüdantne kaitsesüsteem (võrgustik). Antioksüdandid on ained ja ensüümid, mis juba väga väikeses kontsentratsioonis on suutelised vältima, takistama või likvideerima vabade radikaalide jt. reaktiivsete osakeste ülehulka ja seega ka kahjulikku toimet (Zilmer *et al.* 1999).

Nüüdisajal on selge, et sügav kestev OxS (*high grade OxS*) omab olulist rolli südame-veresoonkonna haiguste, sh. hüpertensiooni, patogeneesis (Aruoma 1996; Benzie & Tomlinson 1998; Cai & Harrison 2000; Griendling & FitzGerald 2003). Sellest lähtudes oleks vajalik selgitada, kuidas võiksid käituda OxS aspektte silmas pidades vererõhu langetamiseks sageli kasutatavad angiotensiini konverteeriva ensüümi (AKE) inhibiitorid – kaptopriil, fosinopriil, ramipriil, enalapriil, lisinopriil jt.

Uuringud näitavad, et AKE inhibiitorid omavad mitmeid kasulikke toimeid (kardioprotektiivne ja antiaterogeenne mõju, teist tüüpi diabeedi patogeneesi pärssimine jne.) isegi siis, kui neid kasutada patsientidel, kel pole kõrget vererõhku või vasaku vatsakese düsfunktsooni, ning seda läbi siiani täpselt teadmata mehanismide (O’Keefe *et al.* 2001). Seetõttu on oluline uurida, milliste mehanismide kaudu võiksid need raviained toimida.

AKE inhibiitoreid kasutatakse kõrgvererõhutõve ja südamepuudulikkuse ravis, mis on pikajaline, tihti elukestev. Seepärast on oluline, et kasutatavad ravimid ei põhjustaks kahjulikku OxS. Positiivseks lisatoimeks ja eeliseks teiste ravimite ees oleks AKE inhibiitorite võime vähendada oksüdatiivset stressi. Sellest tulenevalt on käesoleva töö üheks eesmärgiks mõõta erinevate AKE inhibiitorite võimet püüda potentsiaalselt

kõige tugevamat ja kahjulikumat vaba radikaali (hüdroksüüradikaali) ning iseloomustada nende totaalset antioksüdantset võimsust ning neid omavahel võrrelda.

Ateroskleroosi tekkepõhjusteks loetakse madala tihedusega lipoproteiinide (LDL) retseptorite funktsionaalseid häireid, endoteelkahjustusi, modifitseeritud (oksüdeeritud) LDL (oxLDL) kontrollimatumat teket ja kuhjumist õgirakkudesse (Zilmer *et al.* 1999). LDL oksüdatiivses modifikatsioonis peetakse oluliseks vabade radikaalide osavõtul toimuvat protsessi, mida tuntakse lipiidide peroksüdatsioonina. Sellega kaasneb aterosklerootilise kahjustuse kujunemise initsieerumine. Siit tulenevalt on käesoleva töö teiseks eesmärgiks võrrelda erinevate AKE inhibiitorite kaitsvat toimet LDL oksüdatsiooni vastu.

Kuna AKE inhibiitorite ja mikrotsirkulatsiooni seosed on vererõhu seisukohalt võetuna väga olulised (Haak *et al.* 1998), siis peaks teadma hübertoonia-ravimite mõju erütrotsüütide ja teiste vererakkude reoloogilistele parameetritele. Selle iseloomustamiseks sobib erütrotsüütide deformeeritavuse uurimine. Deformeeritus tegelikult otsustabki nende võime läbida väga väikese läbimõõduga kapillaare piisava kiirusega. On teada, et raud võib kestva OxS tingimustes oma sidujatest, ka hemoglobiinist ja ferritiinist, vabaneda. Vabad rauaionid (ülitugevad pro-oksüdandid) põhjustavad erütrotsüütide membraanlipiidide peroksüdatsiooni ning kahjustavad erütrotsüütide membraani, mistõttu häirub erütrotsüütide elastsus ja deformeeritavus ning sellised erütrotsüüdid ei läbi hästi kapillaare ning võivad ka verevoolu surves puruneda (Fernandes *et al.* 1996; Aberkane *et al.* 2002; Comporti *et al.* 2002). Sellest tulenevalt on käesoleva töö kolmandaks eesmärgiks võrrelda erinevate AKE inhibiitorite toimet raud-initsieeritud erütrotsüütide deformatsioonile.

KIRJANDUSE ÜLEVAADE

Reaktiivsed osakesed

Vaba radikaal (VR) on keemiline osake (või fragment), millel on vähemalt üks paardumata elektron (st. on aatomi valentskihil üksinda) ja mis on võimeline mõnda aega iseseisvalt eksisteerima (sekundi murdosast mõne sekundini). Bioloogilistes süsteemides on tuntumad: hüdroksüül- (OH^-), superoksiid- ($\text{O}_2^{\cdot-}$), lämmastikoksiid- ($\text{NO}^{\cdot+}$), lämmastikiidradikaal ($\text{NO}_2^{\cdot+}$). Kõik vabad radikaalid on ülireaktiivsed ning neile on tüüpiline ahelreaktsioon: üks VR tekitab teisi, mis omakorda lülituvad edasistesse reaktsioonidesse. Mingi faktori poolt tekitatud VR ründab molekule, võttes sellelt vesinikuatomi. Atakeeritud molekulid muutuvad VR-ks, mis ründavad omakorda teisi molekule/ühendeid. Protsessi "algatanud" VR muutub pärast reageerimist vesinikuatomiga (paardumata elektroni tõttu vaadeldav reaktiivse osakesena) stabiilseks mitteradikaalseks produktiks. Inimorganismis tekib pidevalt VR. Teatud täpselt limiteeritud hulgas on nad vajalikud füsioloogilistes funktsioonides – signaal-, regulaator- ja kaitsesüsteemides. Liiga suures hulgas või sobimatus keskkonnas võivad nad muutuda toksiliseks – kahjustada võivad DNA, lipiidid, valgud, süsivesikud. Reaktiivsete osakeste liigset teket soodustab muutuva oksüdatsiooniastmega metalli-oonide (raud, vask) juuresolek (Zilmer & Zilmer 1994; Aruoma 1996; Halliwell & Gutteridge 1999; Cai & Harrison 2000; Khanna 2000).

Reaktiivne osake on laiem mõiste, ta hõlmab nii VR kui ka reaktiivseid mitteradikaalisi osakesi. Eristatakse reaktiivseid hapniku osakesi (*reactive oxygen species*, ROS) ja reaktiivseid lämmastiku osakesi (*reactive nitrogen species*, RNS) (Halliwell & Gutteridge 1999).

ROS alla kuuluvad

- hapnikku sisaldavad vabad radikaalid – $\text{O}_2^{\cdot-}$, $\text{OH}^{\cdot+}$ jt.
- hapnikku sisaldavad mitteradikaalilised osakesed¹ – vesinikperoksiid H_2O_2 ; hüpoploorishape HOCl ; osoon O_3 ; ergastatud hapnik ${}^1\text{O}_2$; aldehydid jne.

¹ need on oksüdeerivad agendid ja/ või konverteeruvad kergesti vabaks radikaaliks

RNS alla kuuluvad

- lämmastikku sisaldavad vabad radikaalid – NO^\bullet , NO_2^\bullet .
- lämmastikku sisaldavad mitteradikaalilised osakesed – lämmastikushape HNO_2 , dilämmastiktetraoksiid N_2O_4 , peroksünitrit ONOO^- jt.

ROS teke on erinev – O_2^\bullet ja H_2O_2 teke võib olla reguleeritud nii ensümaatiliste kui ka mitteensümaatiliste mehhanismide kaudu, kuid kõige reaktiivsema hapniku osakese, OH^\bullet , formeerumiseks ei vajata ensüüme. Ta võib moodustuda muutuva oksüdatsiooniastmega metalli poolt (just raua) katalüüsitud Fentoni² või Haber-Weiss'i³ reaktsiooni käigus ning tema teke omab võtmerolli koekahjustuse kujunemises (Zilmer & Zilmer 1994; Aruoma 1996; Khanna 2000). Seetõttu oleks kasulik, kui haiguste ravimisel kasutatav ravaine suudaks ülemäärást OH^\bullet hulka vähendada.

Oksüdatiivsete stressorite (pro-oksüdantide) mõiste on lai, haarates endas ROS, RNS, metallioone, ravimeid, füüsikalisi faktoreid. Oksüdatiivne stressor (pro-oksüdant) on osake/ faktor, mis olles vaba radikaal või tekitades vabu radikaale, soodustab vabaradikaaliliste protsesside teket ja kulgu.

Oksüdatiivne stress

Oksüdatiivne stress (OxS) kujuneb juhul, kui organismis ületab oksüdatiivsete stressorite (pro-oksüdantide) produktsioon antioksüdantse kaitsevõime, see viib aga potentsiaalsele kahjustusele tekkele. Mida kestvam ja sügavam on OxS, seda suuremad kahjustused avalduvad biomolekulide struktuurides ning seda sügavamalt häirub nende talitus (Halliwell & Gutteridge 1999; Zilmer *et al.* 1999; Cai & Harrison 2000). OxS määramiseks biosüsteemides tuleb mõõta mitmeid markereid, mille hulk OxS tõttu muutub, kas suureneb või väheneb (Khanna 2000). Tundlikud on näiteks LDL partiklite lipiidid, sest hapniku lahustuvus lipiidses keskkonnas on oluliselt suurem kui vesikeskkonnas. Protsessi nimetatakse sel puhul lipiidide peroksüdatsiooniks (LP).

LP on vabaradikaaliline protsess, mille põhisubstraatideks on membraansete fosfolipiidide ja vere lipoproteiinide polüküllastamata rasvhapped (*polyunsaturated fatty acids*, PUFA). Need on molekulid, mis esinevad kaksiksidemete tõttu eriti tundlikud vesinikuatomile loovutamisele. LP primaarsed produktid on konjugeerunud süsteemid (dieenkonjuguaadid; viimaste määramine on üks parimaid OxS hindamise meetodeid).

² Fentoni reaktsioon: $\text{Fe}^{2+} + \text{H}_2\text{O}_2 \rightarrow \text{Fe}^{3+} + \text{OH}^\bullet + \text{OH}^-$

³ Haber-Weiss'i reaktsioon: $\text{H}_2\text{O}_2 + \text{O}_2^\bullet + \text{Fe}^{2+} \rightarrow \text{O}_2 + \text{OH}^\bullet + \text{OH}^- + \text{Fe}^{3+}$

Nendeks on rasvhappe vaba radikaal (L^{\bullet}), rasvhappe peroksüüradikaal (LOO \bullet), rasvhappe hüdroperoksiid (LOOH). Viimane ei ole küll VR, kuid võib rakkudesse kuhjumisel muuta membraanistruktuuri ja seeläbi pärssida rakufunktsioone. Normaalne LP on vajalik biomembraanide komponentide uuenemiseks, prostaglandiinide ja progesteroni sünteesiks, fagotsütoosiks jne. Organismi regulatsioonivõimet ületav LP on üks olulisemaid faktoreid patoloogiliste protsesside (ateroskleroos, isheemilised kahjustused, reumatoidartrit, vähktöbi, neurodegeneratiivsed haigused jt.) kujunemises, teatud LP produktid on osutunud mutageenseteks, tsütotoksilikseteks, samuti võivad mõjutada geeniekspresiooni (Zilmer & Zilmer 1994; Aruoma 1996; Halliwell & Gutteridge 1999; Khanna 2000). Nagu eespool mainitud, on LP rünnakuobjektiks ka vere lipoproteiinides leiduvad PUFA-d, mistõttu suureneb LDL oksüdeeritus. Just liigselt oksüdeeritud LDL (oxLDL) hulk on ateroskleroosi tekkes väga olulisel kohal (Halliwell & Gutteridge 1999; Zilmer *et al.* 1999; Münzel & Keaney 2001; Zhou *et al.* 2005; Birukov 2006). Seega oleks väga vajalik uurida raviainete kaitsvat toimet LDL oksüdatsiooni vastu.

Oksüdatiivsete kahjustuste suhtes on väga tundlikud ka punalibed oma membraanide suure PUFA-sisalduse tõttu. Võimsaks potentsiaalseks oksüdatiivsete protsesside promootoriks on ka nende kõrge rakusisene hapniku ja hemoglobiini kontsentratsioon. Kestva OxS tingimustes võib oma sidujatest (ka hemoglobiinist ja ferritiinist) vabaneda raud – võimsaim pro-oksüdant inimkehas. Vabad rauaionid põhjustavad erütrotsüütide membraanilipiidiide peroksüdatsiooni ning kahjustavad seeläbi nende membraani. Selle tulemusena häirub punaliblede elastsus ja deformeeritavus (mis tegelikult otsustabki nende võime läbida väga väikeset läbimõõduga kapillaare, järelikult ka füsioloogilise rolli täitmise võimalikkuse), samuti võib tekkida hemolüs (Halliwell & Gutteridge 1999; Aberkane *et al.* 2002; Comporti *et al.* 2002). Kuna erütrotsüütide elastsus on oluline ka vererõhu seisukohalt, peaks uurima hüpertensiooni korral kasutatavate raviainete toimet erütrotsüütide parameetritele.

Antioksüdantsus ja antioksüdandid

Nagu eelpool mainitud, esineb organismis antioksüdantne kaitsesüsteem. Antioksüdandid on ühendid ja ensüümid, mis juba väga väikeses kontsentratsioonis on suutelised vältima, takistama või likvideerima vabade radikaalide jt. reaktiivsete osakeste kahjulikke toimeid.

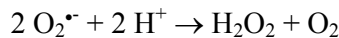
Inimorganismis eristatakse (Halliwell & Gutteridge 1999; Zilmer *et al.* 1999):

- preventatiivseid antioksüdante – takistavad uute VR tekete, konverteerides juba tekkinud VR vähemkahjulikeks osakesteks või takistades molekulide konveriooni VR-ks
 - tekkinud ROS kõrvaldajad – superoksiidi dismutaas (SOD), katalaas (CAT), glutatiooni peroksüdaas (GSHPx)
 - vabade radikaalide ärakoristajad – E-vitamiin, C-vitamiin, glutatioon (GSH), ubikinoon, karotenoidid
 - rauaioone siduvad agendid (takistavad Fe^{2+} kasutamist OH^\bullet tekkeks) – apotransferryin, tseruloplasmiin
- ahelreaktsiooni blokeerivaid antioksüdante – püüavad VR ja selle kaudu blokeerivad juba kulgeva ahelreaktsiooni – E-vitamiin, C-vitamiin, vere albumiin, kusihape, bilirubiin
- reparatsiooni ensüüme – kõrvaldavad VR jt. reaktiivsete osakeste põhjustatud kahjustused biomolekulides – DNA reparatsiooni ensüümid, metioniini sulfoksiidreduktas

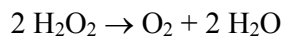
Antioksüdantide lokalisatsioon organismis on erinev. Vereplasmas asuvad veeslahustuvad (askorbiinhape, kusihape, albumiin, tseruloplasmiin, apotransferryin, laktosferriin) ja lipidlahustuvad antioksüdandid (E-vitamiin, A-vitamiin, ubikinoon, karotenoidid), mis kaitsevad veres tsirkuleerivaid lipiide, valke, rakke (ka veresoonte endoteelirakke) oksüdatiivse kahjustuse eest. Rakkudes leidub veeslahustuvaid (põhiliselt GSH, aga ka C-vitamiin) ja ensümaatilisi antioksüdante (SOD, CAT, GSHPx). Biomembraanides on E-vitamiin, karotenoidid, ubikinoon (Zilmer *et al.* 1999).

Siinkohal on toodud tähtsamate antioksüdantide toimemehhanism (Zilmer & Zilmer 1994; Aruoma 1996; Halliwell & Gutteridge 1999):

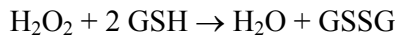
- SOD – esineb mitokondrites (Mn-SOD), tsütoplasmas (Cu,Zn -SOD); muudab superoksiidradikaali vesinikperoksiidiks:



- CAT – esineb maksarakkude ja erütrotsüütide peroksüsoomides, tsütoplasmas; katalüüsib H_2O_2 lõhustumist veeks ja hapnikuks:



- GSHPx – esineb tsütoplasmas, mitokondrites, rakuvälices maatriksis; on seleensõltuv (Se-GSHPx); eemaldab vesinikperoksiidi, rasvhapete peroksiidid oksüdeerides redutseeritud glutatatooni (GSH) oksüdeeritud glutatatooniks (GSSG):



Tekkinud LOH metaboliseerub rakkudes edasi.

- glutatatooni reduktaas (GSSGRed) – sisaldab FAD; muudab oksüdeeritud glutatatooni uuesti redutseeritud glutatatooniks



- E-vitamiin (α -tokoferool) – lokaliseerub biomembraanides, LDL-s; peamine radikaaliliste ahelprotsesside blokeerija lipiidses keskkonnas; kõrvaldab LOO^\bullet ja blokeerib sellega LP. α -tokoferoksüülradikaal redutseeritakse tagasi α -tokoferooliks GSH, askorbiinhappe ja ubikinooni poolt
- askorbiinhape – esineb hüpopüüsis, neerupealistes, pankreas, maksas, põrnas; kõrvaldab vesikeskkonnas O_2^\bullet ja OH^\bullet , LOOH; taastab E-vitamiini lähtevormi. Oksüdeeritakse dehüdroaskorbaadiks, mis redutseeritakse tagasi askorbaadiks dehüdroaskorbaadi reduktaasi poolt, kasutades selleks GSH
- transferriin, ferritiin, tseruloplasmiiin – seovad metallioone (raua- ja vaseioone); takistavad LP.

AKE inhibiitorid

Angiotensiini konverteeriv ensüüm (AKE) on dipeptidüül-karboksüül-metallopeptidaas, mille aktiivtsenter sisaldab tsingi aatomit. Ensüüm esineb membraan-seotud vormis endoteelirakkude pinnal või lahustunud vormis veres ja teistes kehavedelikes. AKE reguleerib tasakaalu reniin-angiotensiin- ning kallikreinin-kiniin-süsteemi vahel. Tema ülesandeks on lõhustada angiotensiin I vasokonstriktor angiotensiin II-ks ja lammutada vasodilataator bradükinin inaktiivseteks peptiidideks. AKE inhibiitorid muudavad seda tasakaalu, vähendades angiotensiin II moodustumist ja bradükinini lammutamist (Brown & Vaughan 1998; Rang *et al.* 2003). Lisaks eelnevale seostatakse AKE toimet ka vaskulaarse oksüdatiivse stressiga. Nimelt sisaldavad kõik peamised veresoonte seina rakutüübaid (endoteel, silelihas, fibroblastid) ensüümsüsteeme (nt. NADPH-oksüdaas), mis kasutavad O_2^\bullet produktsiooniks substraadina NADPH. Angiotensiin II aktiveerib

need ensüümsüsteemid, st. reniin-angiotensiin-süsteemi aktiveerimisel võib oodata O₂[•]-produktsiooni suurenemist (tõestatud eksperimentaalsete ja kliiniliste katsetega). AKE inhibiitorid võivad segada vaskulaarse NADPH-oksüdaasi stimuleerimist angiotensiin II poolt ja takistavad seeläbi reniin-angiotensiin-süsteemi aktivatsiooniga seotud superoksiidi tekke suurenemise (Münzel & Keaney 2001). AKE inhibiitorid saab tsingi ligandiks oleva funktsionaalrühma alusel jagada kolme suurde gruppi (Brown & Vaughan 1998):

- sulfhüdrüülرühma sisaldavad AKE inhibiitorid (kaptopriil, zofenopriil)
- teist (lisa-)karboksüülرühma sisaldavad AKE inhibiitorid (enalapriil, lisinopriil, benasepriil, ramipriil)
- fosfinüülرühma sisaldavad AKE inhibiitorid (fosinopriil).

Enamus AKE inhibiitoritest on profarmakonid, mis jäavat inaktiivseks kuni esterifitseerimiseni maksas ja seda seepärast, et profarmakonid tõstavad suukaudset biosaadavust võrreldes nende aktiivsete vormidega (Brown & Vaughan 1998).

AKE inhibiitoreid kasutatakse nii hüpertensiooni kui südamepuudulikkuse ravis. Kestev arteriaalne hüpertensioon on seotud südame isheemiatõve, aju vaskulaarhaiguste, südamepuudulikkuse ja neerude funktsiooni häirumisega, olles mainitud haiguste ja seisundite oluliseks ja iseseisvaks riskiteguriks. AKE inhibiitorid monoteraapiana langetavad vererõhku enam kui pooltel hübertooniatõve haigetest, koos tiasiid-diureetikumidega on nad efektiivsed 80%-l haigetest. AKE inhibiitoritel on mitmeid eeliseid võrreldes teiste hüpertensiooniravimitega, sest neil ei ole otsest sümpatolüütelist toimet ning kardiovaskulaarsed refleksid koormuse suurenemisele ja keha asendi muutustele ei häiru. Samuti on hea, et AKE inhibiitorid alandavad hüpertensiooni korral vererõhku sõltumata hübertoonia tekkemehhanismist. Üldiselt on veresoonte lainemine erinevates veresoontes erineva ulatusega, kuid püsiv ja alati väljendunud neerudes. Lisaks vähendavad AKE inhibiitorid südame vasaku vatsakese lihasmassi ja seina paksust (Kiivet *et al.* 1995).

Erinevates uuringutes on leitud, et SH-rühma sisaldavad AKE inhibiitorid (kaptopriil, zofenopriil) on potentsiaalsed antioksüdandid, nad on võimelised kelaatima ROS tekkes olulisi Cu²⁺-ioone, püüdma erinevaid vabu radikaale jne. (Fernandes *et al.* 1996; Bartosz *et al.* 1997; Benzie & Tomlinson 1998; Iciek *et al.* 2000; Tamba & Torreggiani 2000; De Nigris *et al.* 2001; Evangelista & Manzini 2005; Nakagawa *et al.* 2006). Samas on töid, kus seatakse kaptopriili antioksüdatiivne aktiivsus ka teatud

kahtluse alla (Lapenna *et al.* 1996). Vastukäivaid andmeid on ka teiste AKE inhibiitorite antioksüdantsuse kohta (Mira *et al.* 1993; Fernandes *et al.* 1996; Bartosz *et al.* 1997; Ruiz-Munoz *et al.* 1997; Benzie & Tomlinson 1998; Fernandez *et al.* 1998; Hayek *et al.* 1999; De Nigris *et al.* 2001; Hayek *et al.* 2002).

Kõigest eelnevast tulenevalt seati antud töö eesmärgiks uurida ja võrrelda erinevate AKE inhibiitorite võimalikku toimet OxS vastu, määrates nende antioksüdantset potentsiaali, antiaterogeenset toimet (kasutades oxLDL mudelit) ning kaitsvat toimet erütrotsüütide deformatsiooni häiriva võimsa pro-oksüdandi raua vastu. AKE inhibiitoriteks valiti igast rühmast üks esindaja – sulfhüdrülrühma sisaldav kaptopriil, kahte karboksüülrühma sisaldava ramipriili aktiivne metaboliit ramiprlaat ja fosfinüülrühma sisaldava fosinopriili aktiivne metaboliit fosinoprlaat.

TÖÖ EESMÄRGID

Käesoleva töö eesmärgid olid järgmised:

1. Võrrelda AKE inhibiitorite antioksüdantset potentsiaali erinevate meetodite abil.
2. Võrrelda AKE inhibiitorite toimet LDL oksüdatiooni-mudeli kasutamisega.
3. Võrrelda AKE inhibiitorite toimet erütrotsüütide deformatsioonile ja võimalikku kaitsetoimet raud-initseeritud deformatsioonihäirete vastu.

MATERJALID JA MEETODID

Uurimismaterjal

Kaptopriil – Ravimiametist

Ramiprilaat – firmast Aventis Pharma (Hoechst AG)

Fosinoprlaat – firmast Bristol-Myers Squibb

Reaktiivikomplekt “Total Antioxidant Status” – Randox Laboratories Ldt (Crumlin, UK)

Tereftaalhape (*Benzene-1,4-dicarboxylic acid*) – Sigma

H₂O₂ – Sigma

CuSO₄ · 5H₂O – Sigma

Dekstraansulfaadi lahus (*Dextran sulfate Na-salt*) – Serva

MgCl₂ – Sigma

PBS (*phosphate-buffered saline: NaCl + NaH₂PO₄*) lahus – Sigma

FeSO₄ · 7H₂O – Sigma

0.9% NaCl lahus

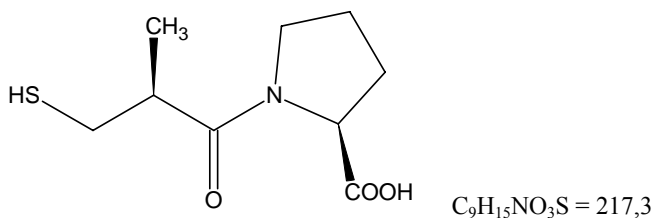
Kromatograafiline paber *Filtrak 388*

Veeniveri – tervetelt vabatahtlikelt doonoriteilt vanuses 20-50 aastat

Kaptopriil

Kaptopriil on sulfhüdrüürühma sisaldav AKE inhibiitor, mis kelaadib AKE molekuli ehitusse kuuluva tsingiaatomi ning seeläbi inhibeerib nimetatud ensüümi (Brown & Vaughan 1998). Kaptopriil oli esimene suukaudselt toimiv AKE inhibiitor, mis võeti kasutusele antihüpertensiivse raviainenana (leiutati 1975, patenteeriti 1977).

Kasutatakse arteriaalse hüpertensiooni, kongestiivse ja müokardiinfarkti järgse südamepuudulikkuse ja diabeetilise nefropaatia ravis (Pharmaca Estica 2005).



1-((2S)-3-merkapto-2-metylpropionyl)-L-prolin

Joonis 1. Kaptopriili struktuurvalem ja keemiline nimetus.

Kaptopriil on valge/peaaegu valge kristalliline pulber. Lahustub kergesti vees, metanoolis, metüleenkloriidis, lahustub nõrgas leelise lahuses (European Pharmacopoeia 2004).

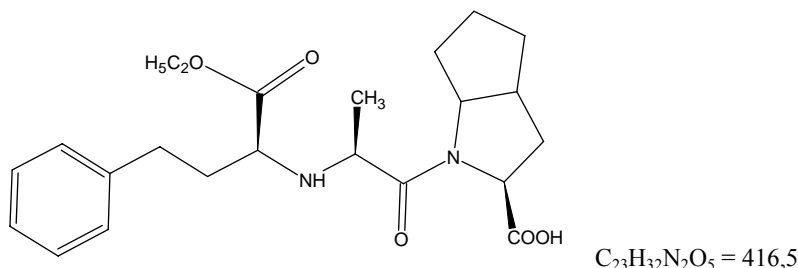
Ravi kaptopriiliga tuleb alustada väikesest annusest, seejärel kohandada individuaalsetele vajadustele. On lühitoimeline, seega tuleb ravimit manustada mitu korda ööpäevas. Hüpertensiooni puhul on algannuseks 12.5 mg 2 korda ööpäevas, tavaline säilitusannus on 25 mg 2 korda ööpäevas, mida võib jätk-järgult suurendada kuni maksimaalse ööpäevase annuseni 50 mg 2 korda ööpäevas. Harvadel juhtudel vajalik 50 mg 3 korda päevas. Südamepuudulikkuse korral tuleb ravi kaptopriiliga alustada arstliku järelvalve all algannusest 6.25 mg või 12.5 mg. Säilitusannuseks on 25 mg 2...3 korda ööpäevas. Maksimaalne lubatud ööpäevane annus on 150 mg. Biosaadavus tühja kõhuga võetuna 70%, koos toiduga väheneb 30...40%-ni (Pharmaca Estica 2005).

Kaptopriili suukaudne annus 100 mg ööpäevas annab plasmakontsentratsiooniks 803...1937 ng/ml kaptopriili (Creasey *et al.* 1986; Franklin *et al.* 1998), mis vastab 3.7...8.9 μ M. Antud töös on kasutatud 5 μ M ja 30 μ M kaptopriili lahuseid.

Ramipriil

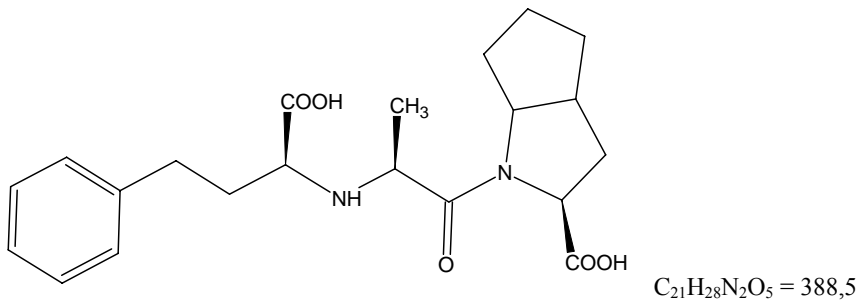
Ramipriil on pikatoimeline kahte karboksüülruhma sisaldav AKE inhibiitor, mis toimib samuti läbi AKE molekuli ehitusse kuuluva tsingiaatomi kelaatimise. Ta on profarmakon, mis teeb maksas läbi de-esterfitseerumise aktiivseks metaboliidiks ramiprilaadiks (Meisel *et al.* 1994; Brown & Vaughan 1998).

Kasutatakse arteriaalse hüpertensiooni, omandatud (sh. müokardiinfarkti järgse) südamepuudulikkuse ja algava või väljakujunenud glomerulaarse nefropaatia (sh. diabeetilise nefropaatia) ravis (Pharmaca Estica 2005).



(2S,3aS,6aS)-1-[(S)-2-[(S)-1-(etoksükarbonüül)-3-fenüülpropüül]amino]propanoüül]oktahüdrotsüklopenta[b]pürrool-2-karboksüülhape

Joonis 2. Ramipriili struktuurvalem ja keemiline nimetus.



(2S,3aS,6aS)-1-[(S)-2-[(S)-1-karboksü-3-fenüülpropüül]amino]propanoüül]oktahüdrotsüklopenta[b]pürrool-2-karboksülhape (ramipriil diatsiid)

Joonis 3. Ramiprilaadi struktuurvalem ja keemiline nimetus

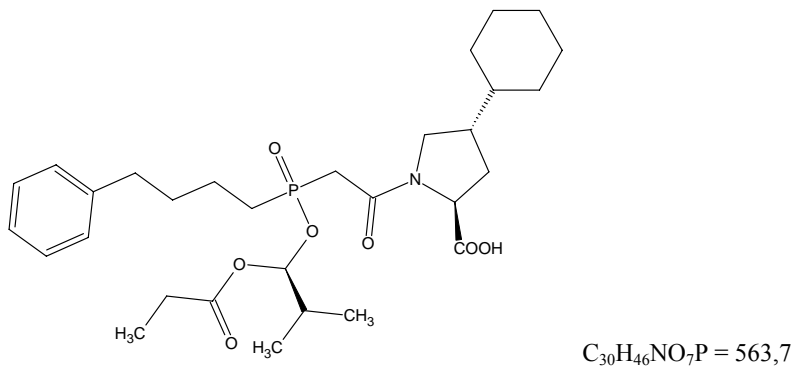
Hüpertensiooni ravis on soovitatavaks algannuseks 2.5 mg ramipriili 1 kord ööpäevas. Sõltuvalt ravivastusest võib annust suurendada, soovitavalt kahekordistada 2...3 nädalase intervalliga. Säilitusannus 2.5...5 mg ööpäevas; maksimaalne 10 mg ööpäevas. Südamepuudulikkuse ravis on soovitatav algannus 1.25 mg ramipriili 1 kord ööpäevas. Annust kahekordistatakse 1...2 nädala pärast. Maksimaalne lubatud ööpäevane annus on 10 mg. Profarmakoni metabolismi/ aktivatsiooni tulemusel on suukaudselt manustatava ramipriili biosaadavus umbes 20% (Pharmacra Estica 2005).

Ramipriili ühekordne suukaudne annus 5 mg annab plasmas ramiprilaadi sisalduseks 4...10 ng/ml (Ruf *et al.* 1994; Verho *et al.* 1995), mis vastab kontsentratsioonile 0.010...0.026 μM . Antud töös on kasutatud 0.02 μM , 0.04 μM ja 0.08 μM ramiprilaadi lahuseid.

Fosinopriil

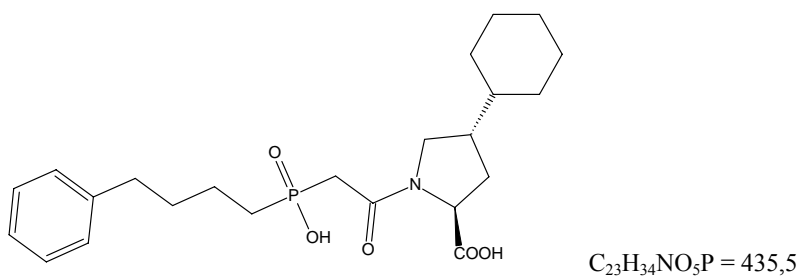
Fosinopriil, fosfiinhappe ester, on inaktiivne profarmakon, mis pärast suukaudset manustamist muudetakse kiire hüdrolüüs kaudu aktiivseks diatsiidiks, AKE inhibiitor fosinoprilaadiks (Murdoch & McTavish 1992). Toimib sarnaselt teistele AKE inhibiitoritele läbi tsingiaatomi kelaatimise. Fosinopriil on ainuke FDA (Food and Drug Administration) poolt heaks kiidetud fosfinüülrühma sisaldav AKE inhibiitor (Brown & Vaughan 1998).

Kasutatakse arteriaalse hüpertensiooni ja südamepuudulikkuse ravis (Pharmacra Estica 2005).



(4S)-4-tsükloheksüül-1[[(1-hüdroksü-2-metüülpropoksü)(4-fenüülbutüül)fosfinüül]atsetüül]-L-proliin propionaat

Joonis 4. Fosinopriili struktuurvalem ja keemiline nimetus.



(4S)-4-tsükloloheksüül-1-[(hüdroksü(4-fenüülbutüül)fosfinüül)atsetüül]-L-proliin (fosinopriil diatsiid)

Joonis 5. Fosinoprlaadi struktuurvalem ja keemiline nimetus.

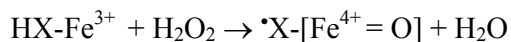
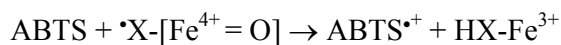
Fosinopriili soovitatavaks algannuseks hüpertensiooni korral on 10 mg 1 kord ööpäevas. Ravi kohaldada vastavalt vererõhu muutustele; tavaline annus 10...40 mg 1 kord ööpäevas. Südamepuudulikkuse puhul on samuti soovitatav algannus 10 mg 1 kord ööpäevas; ravi alustada arstliku järelvalve all. Vastavalt ravitulemustele võib annust suurendada nädalase intervalliga 40 mg-ni 1 kord ööpäevas. Maksimaalne lubatud ööpäevane annus on 40 mg. Suu kaudu manustatud fosinopriilist imendub 30...40%. Fosinoprlaadi farmakokineetilised parameetrid on proportsionaalsed manustatud fosinopriili annusega (Pharmacata Estica 2005).

Fosinopriili ühekordne suukaudne annus on 10 mg, millest moodustub plasmas 113...241 ng/ml fosinoprlaadi tase (Blumethal 1997; Ding *et al.* 1999), mis vastab kontsentratsioonile 0.259...0.556 μM . Antud töös on kasutatud 0.29 μM ja 0.40 μM fosinoprlaadi lahuseid.

Meetodid

Totaalne antioksiidantne mahtuvus (TAS)

Ainete antioksiidantse üldaktiivsuse (potentsiaali) olemasolu ja taseme määramiseks on mitmeid meetodeid. Antud töös on kasutatud AKE inhibeerivate raviainete (kaptopriili, ramiprlaadi ja fosinoprlaadi) antioksiidantse potentsiaali hindamiseks standardset reaktiivikomplekti "Total Antioxidant Status" (TAS, RANDOX). Selle tööpõhimõte seisneb antioksiidantide võimel takistada ABTS (2,2'-azino-di-[3-etylbenzotiasoliinsulfonaat]) üleminekut ABTS⁺ katioonradikaaliks. Viimane moodustub ABTS-st kokkupuutel ferrüülmüoglobiinradikaalsete ($\cdot\text{X}-[\text{Fe}^{4+} = \text{O}]$) osakestega, mis saadakse metmüoglobiini (HX-Fe³⁺) aktiveerimisel vesinikperoksiidiga:



ABTS on värvitu, kuid ABTS⁺ omab stabiilset sinakasrohelist värvust, mis on mõõdetav 600 nm juures. Antioksiidandid pärssivad värvilise katioonradikaali teket ning värvuse tekke pidurdamine on proporsionaalne uuritud materjali antioksiidantse aktiivsusega. Tulemused kalibreeritakse E-vitamiini veeslahustuva sünteetilise analoogi, Trolox (6-hüdroksü-2,5,7,8-tetrametüulkromaan-2-karboksüülhape) kaudu ning väljendatakse mmol/l.

Töö käik: erinevatesse katseklaasidesse pipeteeriti vastavalt 20 µl destilleeritud vett kontrolliks; 20 µl standardit ja 20 µl konkreetset uuritavat raviaine lahust. Seejärel lisati kõikidesse katseklaasidesse 1 ml kromogeeni, segati ja mõõdeti 600 nm juures lahuse absorptsioon (A_1); lisati kõikidesse 200 µl substraati ja mõõdeti täpselt 3 minuti pärast (ajast sõltuv reaktsioon) lahuste absorptsioon (A_2) laine pikkusel 600 nm. Saadud tulemustest arvutati TAS (mmol/l):

$$\text{TAS} = \text{faktor} \times (\Delta A_{\text{kontroll}} - \Delta A_{\text{proov}})$$

$$\text{faktor} = \text{Trolox knts. standardis} / (\Delta A_{\text{kontroll}} - \Delta A_{\text{standard}})$$

$$\Delta A_{\text{kontroll/standard/proov}} = A_2 - A_1$$

Hüdroksüülradikaalide eliminatsiooni mõõtmine

Hüdroksüülradikaali (OH^{\cdot}) mõõtmise muudab keeruliseks osakese ülilühike eluiga (mikrosekundeid), suur reaktsioonivõime ning sellest tulenevalt reaktsioonisaaduste

mitmekesisus. Siin on lahenduseks nn. keemilised dosimeetrid. Varem leidsid kasutamist bensoaat- ja salitsülaatdosimeetrid, nende miinuseks on vastavalt 3 või 5 fluoresceeruvat reaktsioniprodukti, mis tuleb eraldi kindlaks teha (Barreto *et al.* 1995). Antud töös on keemilise dosimeetrina kasutatud tereftaalhappe (THA) lahust. THA eeliseks dosimeetrina on sümmeetria – nimelt tekib OH[•] reageerimisel mittefluoresceeriva tereftaaliga ainult üks intensiivse fluorescentsiga produkt, monohüdroksütereftalaat (Barreto *et al.* 1995).

Töö käik: 2000 µl 10 mM THA lahust 10mM fosfaatpuhvris (pH = 7.5) pipeteeriti magnetsegajaga küvetti, sellele lisati 100 µl uuritava aine lahust (füsioloogilises lahuses) või 100 µl füsioloogilist lahust (kontrollkatse), 100 µl 10 µM CuSO₄·5H₂O lahust ja 100 µl 1 µM H₂O₂ lahust (Cu²⁺ ja H₂O₂ abil tekitati Fentoni reaktsionil OH[•]). THA-st OH[•] mõjul tekinud reaktsioniprodukti mõõdeti fluorimeetriliselt 312 nm ekstinktsiooni ja 426 nm emissiooni juures.

Saadud andmed väljendasid THA-hüdroksülradikaali piigi protsentuaalset inhibitsiooni uuritud raviaine poolt. Raviaine IC₅₀ väärтused saadi sigmoidaalsel doos-vastus analüüsил programmiga Prism 2.0 (graphPad Software Inc., San Diego, CA, USA).

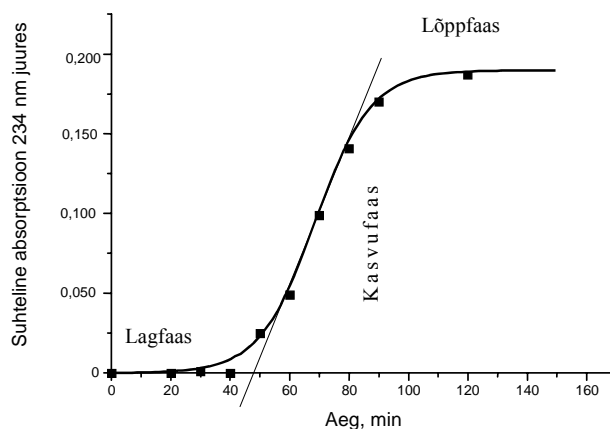
LDL oksüresistentsuse (lagfaasi) mõõtmine

In vitro võib LDL oksüdatsiooni algatada kas rakke sisaldavas keskkonnas (inkubeerides makrofaagidega, endoteelirakkudega, silelihasrakkudega, lümfotsüütidega) või rakuvas keskkonnas (kasutades erinevaid pro-oksüdante). Rakke sisaldavas keskkonnas oksüdeeritud LDL on oma omadustelt praktiliselt identne LDL-le, mis on oksüdeeritud rakuvas keskkonnas. Seetõttu viiakse enamus eksperimente LDL oksüdeerimise uurimisel läbi kasutades pro-oksüdantidena raua- või vase-ioone, sest metalli-oonide üleminek vabast vormist redoks-aktiveeritud kompleksi on üldiselt sobiv produtseerimaks oxLDL. Kõige sagedamini kasutatakse LDL oksüdatsioonitundlikkuse mõõtmiseks vaskinitiseeritud oksüdatsiooni, sest raua-oonid oksüdeerivad LDL aeglasemalt.

LDL oksüdatsiooni ulatust on võimalik hinnata peroksiidide ja aldehüüdsete lipidide peroksüdatsiooniprotktide (eeskätt dieenkonjugaatide) määramisega, tio-barbituurhappe testiga, elektroforeetilise liikuvusega, lipiidide fluorescentsi mõõtmisega, lipofilsete antioksüdantide ja rasvhapete vähenemise mõõtmisega, anioon-vahetus kromatograafiaga (Esterbauer *et al.* 1989; Zhang *et al.* 1994; Jialal & Devaraj 1996; Rice-Evans *et al.* 1996).

Inimese LDL oksüdatsiooni on võimalik dünaamiliselt registreerida, mõõtes dieenkonjugaatide (*conjugated dienes*, CD) suhtelist absorptsiooni 234 nm (tekib maksimaalne hulk dieenkonjugaate) juures (Esterbauer *et al.* 1989).

CD moodustumise kineetika, so. absorptsioon *versus* aeg, on iseloomustatav kolme faasiga (joonis 6). Esimese, nn. lagfaasi jooksul CD hulk ei suurene üldse või suureneb väga vähe, st. CD suhteline absorptsioon suureneb aeglaselt ja ainult vähesel määral. Selle faasi kestus on määratud endogeensete antioksüdantide (E-vitamiin, karotenoidid, retinüülstearaat) sisaldusega LDL-s. Kui LDL kaotab enamuse oma antioksüdantsetest komponentidest, siis algab teine (kasvu-) faas, milles CD hulk suureneb väga kiiresti maksimumvääruseni, sest PUFA-d konverteeritakse konjugeeritud lipiidide hüdroperoksiidideks. Viimane tingib kiire ja järsu suhtelise absorptsiooni suurenemise 234 nm juures. Kolmas, nn. lõppfaas algab platoo tekkega, st. CD hulk enam ei suurene. Pikaajalisel inkubeerimisel hakkab CD hulk koguni vähenedma (seda pole joonisel 6 näidatud), kuna lipiidide hüdroperoksiidid lõhustuvad edasi erinevateks ühenditeks, kaasa arvatud stabiilseteks lõpp-produktideks, nagu aldehydid, süsihaptegaas, alkoholid (Esterbauer *et al.* 1989).



Joonis 6. LDL oksüdatsiooni käigus tekkivate dieenkonjugaatide moodustumise kineetika ja lagfaasi määramine.

Lagfaasi määramine on sobiv ja objektiivne protseduur määramaks LDL tundlikkust erinevate pro- ja antioksüdantide suhtes, sest see peegeldab LDL oksüresistentsust – aega, mille jooksul lipoproteiinis olevad PUFA-d sisuliselt veel ei oksüdeeru, sest samas leiduvad antioksüandid neutraliseerivad vabu radikaale. Protsess on temperatuurist

sõltuv, soovitatav temperatuur 37°C (Esterbauer *et al.* 1989; Zhang *et al.* 1994; Rice-Evans *et al.* 1996). Seda meetodit kasutati ka antud töös.

Töö käik: vabatahtlikelt doonoritelt võeti veeniveri EDTA Vacutainer katsutitesse; plasma eraldati tsentrifuugimisel 1500×g /minutis 15 minutit jooksul. Lipoproteiinide fraktsioon (mitte-HDL-fraktsioon, mille totaalse enamiku moodustab LDL ja milles on vähesel määral VLDL; edaspidi LDL-fraktsioon) sadestati 4 ml-st 1:2 lahjendatud plasmast 0.4 ml sadestusreagendiga (2% dekstraansulfaadi ja 2M MgCl₂ lahus 1:1, pH 7.0), segati mikseril 1 minut ja tsentrifuugiti 10 minutit 1500×g juures. Supernatant eemaldati sademelt ning sade lahustati 4 ml 0.9% PBS-s. Järgnevalt lisati lahusle 0.2 ml sadestusreagenti, segati ja tsentrifuugiti, et eemaldada LDL-fraktsioonist EDTA jääke. Supernatant eemaldati ning sadestatud LDL lahustati 4% PBS-s (Zhang *et al.* 1994). Saadud LDL-fraktsioonis määritati valgu sisaldus Lowry meetodil (Lowry *et al.* 1951), kuna edasiseks LDL oksüdatsiooni uurimiseks vajati töölahust, mis sisaldaks valku 2 mg/ml. Vastava valgusisaldusega lahus saadi fraktsiooni lahjendamisel 4% PBS-ga.

LDL-fraktsioon pipeteeriti 100 µl kaupa katseklaasideesse, katseseeriale lisati 50 µl füsioloogilist lahest (kontrollkatse) või 50 µl uuritava raviaine lahest (füsioloogilises lahus), eelinkubeeriti 37°C juures 10 minutit, lisati kõikidesse katseklaasideesse 50 µl CuSO₄·5H₂O lahest (lõppkontsentratsioon 0.045 mM) ning inkubeeriti 37°C juures 3 tunni jooksul. Iga 10 minuti järel mõõdeti spektrofotomeetriliselt tekkinud dieenkonjugaatide suhteline absorptsioon (Spectronic Genesis 2PC) 234 nm juures.

Saadud ekstinktsioonide alusel konstrueeriti arvutiprogrammi MICROCALC abil vastavad graafikud, mille abil leiti igas kases LDL oksüresistentsust iseloomustav aeg (lagfaasi pikkus). Illustratsiooniks joonis 6 – graafikul tömmatakse kasvufaasile puutuja, mis lõikub ajateljega; lõikekohalt saadakse lagfaasi pikkus minutites.

Erütrotsüütide deformeeritavuse hindamine kromatograafilise migratsiooni kaudu

Mikrotsirkulatsiooni normaalseks toimimiseks peavad erütrotsüüdid deformeeruma, et läbida kitsaid, endast väiksema diameetriga kapillaare. Deformatsioonivõime sõltub välimistest ja sisemistest jõududest, kuid kõige enam vere punalible plasmamembraani elastsusest. Seega oma füsioloogilise ülesande täitmiseks on erütrotsüütide jaoks oluline säilitada oma ideaalne ruumiline vorm, mis tagabki nende võime vastavalt vajadusele

deformeeruda. Erütrotsüütide kromatograafiline migratsiooni (EKM) test sobib punaliblede plasmamembraani deformeeritavuse/funktsionaalsuse markeriks, sest membraani ründavad oksüdatiivsed stressorid, sh. väga othlik raud, on võimelised seda muutma.

EKM baseerub asjaolul, et normaalsed punalibled jätavad standardtingimustes kromatograafilisele paberile peaaegu identse laigu, kuid membraani ründavad pro-oksüdandid põhjustavad normaalses kromatograafilises migratsioonis muutusi. Antud töös kasutatigi erütrotsüütide deformeeritavuse hindamiseks EKM määramist, mis põhines varem väljatöötatud meetodil (Vasilyev 1991).

Töö käik: vabatahtlikelt doonoritelt võeti veeniveri hepariiniga Vacutainer katsutitesse; erütrotsüüdid eraldati verest tsentrifuugimisel 500×g 5 minutit jooksul. Isoleeritud erütrotsüüdid pesti neli korda 0.9% NaCl lahusega. Viimase tsentrifuugimise järel resuspendeeriti erütrotsüüdid füsioloogilises lahuses 60% “hematokritini”. Saadud erütrotsüütide suspensiooni pipeteeriti 200 µl kaupa katseklaasidesse, katseseeriale lisati 200 µl füsioloogilist lahust, 50 µl uuritava raviaine lahust (füsioloogilises lahuses) või 50 µl füsioloogilist lahust (kontrollkatse), eelinkubeeriti 37°C juures 10 minutit, seejärel lisati 100 µl FeSO₄·7H₂O lahust lõppkontsentratsiooniga 150 µM, 300µM, 450 µM või 600 µM ning inkubeeriti 37°C juures täpselt 60 minutit (ajast sõltuv reaktsioon). Kromatograafilisele paberile horisontaalsel raamil pipeteeriti 200 µl füsioloogilist lahust (lahusti) ning 60 sekundi pärast kanti samasse keskpunkti 20 µl erütrotsüütide suspensiooni (katse). Mõlema ala (lahusti ja katse) diameetrid (vastavalt dl ja dk) mõõdeti 60 sekundi pärast. EKM (protsentides) arvutati järgmise valemi kohaselt:

$$EKM = \frac{dk}{dl} \cdot 100\%.$$

Andmete statistiline analüüs

Tulemuste analüüsiks ja statistiliseks töötlemiseks kasutati arvutiprogrammi Microsoft Excel. Katseandmete põhjal leiti aritmeetilised keskmised ning nende põhjal standardhälve (\pm SED). Statistilise tõenäosuse leidmiseks kasutati Student t-testi. Katsete tulemuste erinevus loeti statistiliselt tõenäoseks $p < 0.05$ korral.

TULEMUSED JA ARUTELU

Kaptopriil

TAS ja hüdroksüülradikaali elimineerimisvõime

TAS mõõtmisel ilmnes, et 30 μM kaptopriili lahus omab antioksiidantset potentsiaali, kuid 5 μM lahus seda ei näidanud: $\text{TAS}_{5\mu\text{M}} = 0 \text{ mmol/l (n=3)}$;

$$\text{TAS}_{30\mu\text{M}} = (2.65 \pm 0.40) \text{ mmol/l (n=3)}.$$

Hüdroksüülradikaali elimineerimisvõimet mõõdeti kontsentratsioonidel 5 μM ja 30 μM , kuid vajalikku lineaarsust ei ilmnenuud 600 sekundi jooksul. Seejärel teostati katse 50 μM kaptopriili lahusega, tulemus vastas ettenähtud lineaarsuse tingimusele.

Katsetes saadud tulemuste alusel konstrueeriti graafikud ja leiti ekstrapoleerimise kaudu näiv IC_{50} . 30 μM kaptopriili lahuse näiv $\text{IC}_{50} = (0.043 \pm 0.007) \text{ mM (n=5)}$

Toime LDL oksüresistentsusele

Katsed kaptopriiliga näitasid, et antud ravaine suurendab märkimisväärsest LDL oksüresistentsust (tabel 1), mis viitab kaptopriili antioksiidantsele (antiaterogeensele) toimele.

Tabel 1. Kaptopriili mõju LDL oksüresistentusele (n = 4).

Kaptopriili kontsentratsioon	Lagfaasi pikkus (min)		Lagfaasi muutus (min)
	Ilma kaptopriilita	Kaptopriiliga	
5 μM	40 \pm 6	78 \pm 8	38 \pm 10*
30 μM	47 \pm 7	89 \pm 12	42 \pm 15*

* $p < 0.05$; keskmne \pm SED;

Toime erütrotsüütide deformatsioonile

Alguses teostati katsed uurimaks raviainete mõju EKM-le. Saadud tulemused näitasid, et kaptopriil statistiliselt olulist muutust EKM-s esile ei kutsu (andmed ei ole toodud). Seejärel uuriti raua-ionide mõju EKM-le, selgus, et raud vähendab erütrotsüütide deformatsiooni sõltuvalt kontsentratsioonist ning statistiliselt oluliselt (tabel 2).

Deformatsiooni vähenemine väljendus erütrotsüütide poolt tekitatud migratsiooniala diameetri vähenemises raua juuresolekul.

Tabel 2. Raua mõju erütrotsüütide kromatograafilisele migratsioonile (p<0.05).

Kontroll	150 µM Fe ²⁺	300 µM Fe ²⁺	450 µM Fe ²⁺	600 µM Fe ²⁺
100%	96%	85%	77%	73%

Kontrolliks erütrotsüüdid füsioloogilises lahuses. Hajuvuspiirid 5-10% näidu väärustest.

Tabelis 3 on toodud kaptopriili kaitsetoime raud-tingitud EKM-le protsentides. Mida suurem arv, seda võimsam on raviainne kaitsetoime.

Tabel 3. Kaptopriili efekt raua pro-oksüdantsele toimele (n=12).

Kaptopriili kontsentratsioon	150µM Fe ²⁺	300 µM Fe ²⁺	450 µM Fe ²⁺	600 µM Fe ²⁺
5 µM	4*	6*	7*	2
30 µM	8*	5*	8*	7*

* p<0.05, hajuvuspiirid 5-10% näidu väärustest.

Ramiprilaat

TAS ja hüdroksüülradikaali elimineerimisvõime

Ramiprilaadi lahused andsid alljärgnevad tulemused:

$$\text{TAS}_{0.02\mu\text{M}} = 0 \text{ mmol/l (n=3)}$$

$$\text{TAS}_{0.04\mu\text{M}} = (0.01 \pm 0.02) \text{ mmol/l (n=3)}$$

$$\text{TAS}_{0.08\mu\text{M}} = (0.22 \pm 0.02) \text{ mmol/l (n=3)}$$

Saadud tulemused viitavad ramiprilaadi minimaalsele antioksüdantsele potentsiaalile või hoopiski selle puudumisele. Sama näitas ka radikaali elimineerimise katse.

Hüdroksüülradikaali püüdmisvõimet mõõdeti esmalt valitud kontsentratsioonidel 0.02 µM, 0.04 µM ja 0.08 µM. Kuna ükski lahustest ei elimineerinud OH[•], teostati katsed 10 ja 20 korda suurema kontsentratsiooniga lahustega. Saadud tulemused ei näidanud samuti OH[•] püüdmisvõimet.

Toime LDL oksüresistentsusele

Katsed ramiprilaadiga näitasid, et antud ravaine statistiliselt olulist mõju LDL oksüdatsiooniprotsessile ei avalda (tabel 4).

Tabel 4. Ramiprilaadi mõju LDL oksüresistentusele (n = 5).

Ramiprilaadi kontsentratsioon	Lagfaasi pikkus (min)		Lagfaasi muutus (min)
	Ilma ramiprilaadita	Ramiprilaadiga	
0.02 µM	50.20±12.34	48.60±10.74	-1.60±2.88
0.04 µM	50.20±12.34	52.20±11.65	2.00±9.00
0.08 µM	50.20±12.34	48.60±15.24	-1.60±9.02

keskmine±SED

Toime erütrotsüütide deformatsioonile

Eelnevalt teostatud katsed näitasid raviainete mõju kohta EKM-le, et ramiprilaat ise ei kutsu EKM-s statistiliselt olulist muutust esile (andmed ei ole toodud). Raua mõju erütrotsüütide deformatsioonile on toodud tabelis 2. Rauast tingitud deformatsiooni muutusi ramiprilaat vähendab. Tabelis 5 toodud arvud väljendavad ramiprilaadi kaitse-toimet raud-tingitud EKM-le protsentides.

Tabel 5. Ramiprilaadi efekt raua pro-oksüdantsele toimele (n=8).

Ramiprilaadi kontsentratsioon	150µM Fe ²⁺	300 µM Fe ²⁺	450 µM Fe ²⁺	600 µM Fe ²⁺
0.02 µM	2	11*	5*	2
0.04 µM	1	7*	8*	0
0.08 µM	4	9*	10*	3*

* p<0.05, hajuvuspiirid 5-10% näidu väärustusest.

Fosinoprilaat

TAS ja hüdroksüülradikaali elimineerimisvõime

Fosinoprlaadi lahustega teostatud TAS katsed viitasid samuti minimaalsele või puuduvalle antioksüdantsele potentsiaalile: $TAS_{0.29\mu M} = (0.05 \pm 0.03) \text{ mmol/l}$ ($n=3$) ja $TAS_{0.40\mu M} = (0.09 \pm 0.06) \text{ mmol/l}$ ($n=3$).

Samale tulemusele osutas fosinoprlaadi OH^\bullet püüdmisvõime puudumine. Vastavad katsed teostati esmalt valitud kontsentratsioonidel – $0.29 \mu M$ ja $0.40 \mu M$. Kuna saadud tulemused ei näidanud OH^\bullet elimineerimist, tõsteti uuritavate lahuste kontsentratsioone 10 ja 20 korda, kuid ka need lahused ei näidanud OH^\bullet inhibeerimist.

Toime LDL oksürestentusele

Katsed fosinoprlaadi näitasid, et antud ravaine väiksem kontsentratsioon pikendab veidi LDL lagfaasi (statistikiliselt mitteoluline), kuid suurem kontsentratsioon lühendab seda (statistikiliselt oluline), st. LDL oksüdatsioonitundlikkus suureneb fosinoprlaadi toimel (tabel 6).

Tabel 6. Fosinoprlaadi LDL oksürestentusele ($n = 4$).

Fosinoprlaadi kontsentratsioon	Lagfaasi pikkus (min)		Lagfaasi muutus (min)
	Ilma fosinoprlaadita	Fosinoprlaadiga	
$0.29 \mu M$	46.75 ± 13.05	48.50 ± 14.80	1.75 ± 2.63
$0.40 \mu M$	46.75 ± 13.05	43.00 ± 10.74	$-3.75 \pm 2.50^*$

* $p < 0.05$, keskmene \pm SED

Toime erütrotsüütide deformatsioonile

Eelkatsed raviainete toime kohta EKM-le näitasid, et fosinoprlaat seda statistiliselt oluliselt ei muuda (andmed ei ole toodud). Pro-oksüdant raud põhjustab erütrotsüütide deformatsiooni ja mõjutab seeläbi EKM (tabel 2). Fosinoprlaadi kaitsetoime raudtingitud EKM muutustele on toodud tabelis 7, kus muutus väljendub protsentides.

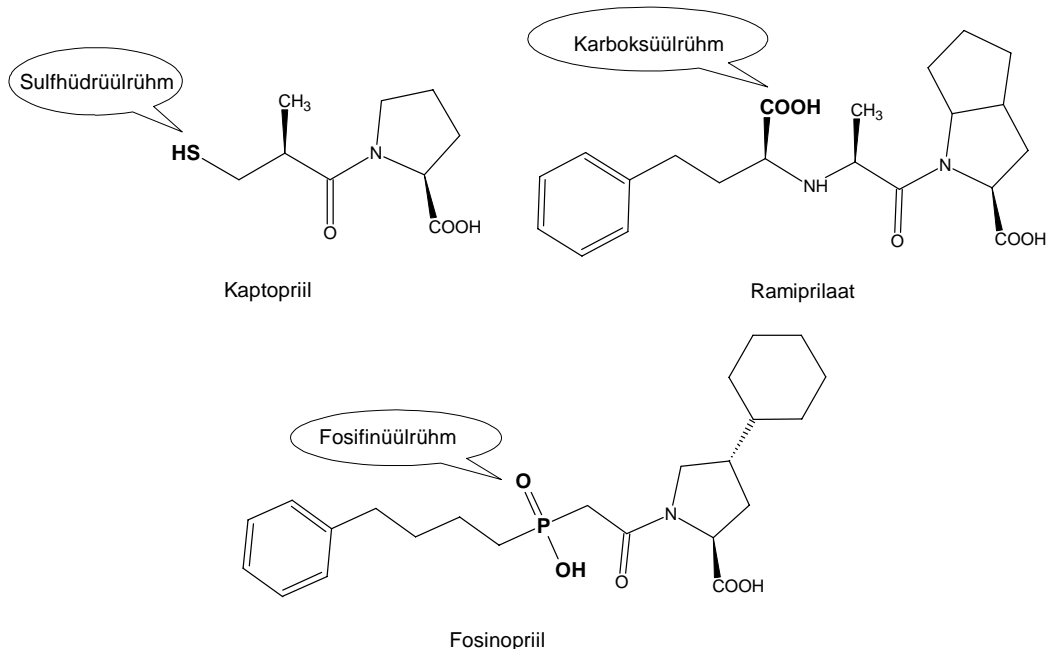
Tabel 7. Fosinoprlaadi efekt raua pro-oksüdantsele toimele (n=10).

Fosinoprlaadi kontsentratsioon	150 µM Fe ²⁺	300 µM Fe ²⁺	450 µM Fe ²⁺	600 µM Fe ²⁺
0.29 µM	1	1	6	8*
0.40 µM	0	0	3	8*

* p<0.05; hajuvuspiirid 5-10% näidu väärustest.

Tulemuste analüüs

Antud töös leiti, et tiool-rühma sisaldava kaptopriili antioksüdantne potentsiaal oli tugevam kui fosfinüülrühma sisalda val fosinoprlaadil ja kahte karboksüülrühma omaval ramiprlaadil (vt. struktuurvalemid joonisel 7), sest kaptopriili TAS on oluliselt suurem kui fosinoprlaadil ja ramiprlaadil (tabel 8). Kaptopriili TAS väärust on lähedane mitmete tugevate antioksüdantide omale. Väga madal TAS väärust teistel raviainetel viitab nende väga nõrgale või puuduvale antioksüdantsele potentsiaalile. Seda kinnitavad ka hüdroksüülrüdikaali elimineerimiskatsed, kus selgus, et 30 µM kaptopriili lahus elimineerib OH[•], kuid fosinoprlaat ja ramiprlaat tekkinud OH[•] ei kõrvalda (tabel 8). Seega osutab kaptopriili antioksüdantsusele nii kõrge TAS väärust kui ka võime muuta ülitoksiline hüdroksüülrüdikaal kahjutuks. Viimane on väga oluline paljude haiguste seisukohalt, sest tihti on liipiidide peroksüdatsiooni algatajaks just OH[•].



Joonis 7. Kaptopriili, ramiprlaadi ja fosinoprlaadi struktuurvalemid.

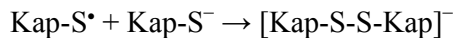
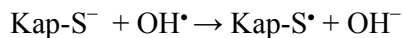
Tabel 8. Kaptopriili, ramiprlaadi ja fosinoprlaadi antioksüdantsete omaduste koondtabel.

		Kaptopriil		Ramiprlaat			Fosinoprlaat	
kontsentratsioon		5 µM	30 µM	0.02 µM	0.04 µM	0.08 µM	0.29 µM	0.40 µM
TAS (mmol/l)		0 (n=3)	2.65±0.40 (n=3)	0 (n=3)	0.01±0.02 (n=3)	0.22±0.02 (n=3)	0.05±0.03 (n=3)	0.09±0.06 (n=3)
näiv IC ₅₀ (mM)		0.043±0.007 (n=5)	-	-	-	-	-	-
lagfaasi muutus (min)		38±10* (n=4)	42±15* (n=4)	-1.60±2.88 (n=5)	2.00±9.00 (n=5)	-1.60±9.02 (n=5)	1.75±2.63 (n=4)	-3.75±2.50* (n=4)
kaitse- toime raud- tingi- tud EKM- le (%)	150 µM Fe ²⁺	4*	8*	2 (n=8)	1 (n=8)	4 (n=8)	1 (n=10)	0 (n=10)
	300 µM Fe ²⁺	6*	5*	11* (n=8)	7* (n=8)	9* (n=8)	1 (n=10)	0 (n=10)
	450 µM Fe ²⁺	7*	8*	5* (n=8)	8* (n=8)	10* (n=8)	6 (n=10)	3 (n=10)
	600 µM Fe ²⁺	2 (n=12)	7* (n=12)	2 (n=8)	0 (n=8)	3* (n=8)	8* (n=10)	8* (n=10)

*p<0.05; keskmise±SED; n – katsete arv

Raviainete mõju uurimisel LDL oksüdatsioonitundlikkusele (sisuliselt näitab see nende võimalikku antiaterogeenset potentsiaali) saime järgmised tulemused (tabel 8). Kaptopriil pikendab LDL lagfaasi märkimisväärselt (p<0.05), ramiprlaat LDL lagfaasile statistiliselt olulist mõju ei avalda. Fosinoprlaadi väiksem kontsentratsioon statiliselt olulist muutust LDL lagfaasile ei oma, suurema kontsentratsiooniga (0.40 µM) lahus lühendab LDL lagfaasi keskmiselt 4 minuti võrra (p<0.05). Kaptopriili positiivset mõju LDL oksüresistentsusele, mis on sisuliselt lipiidide peroksüdatsiooni pärssimine, saab seostada tema võimega püüda OH[•] radikaale, mis tihti algatavad LP.

Saadud tulemused toetavad levinud arusaama raviaine struktuuris oleva tiolrühma olulisusest antioksüdantsuse tagamisel. Arvatakse, et vabad radikaalid ja teised oksüdandid reageerivad esmalt kaptopriili (Kap-SH) SH-rühmaga konverteerides selle tiüülradikaaliks (Kap-S[•]) või oksüdeerides kaptopriili disulfiidiks [Kap-S-S-Kap]⁻.



Samas ei saa väita, et elusorganismis toimub kõik samasuguselt. Antud uuringus läbi viidud LDL oksüdatsioonitundlikkuse katsed *in vitro* näitasid positiivset efekti vaid kaptopriilil, kuid kirjanduse andmetel suurendavad LDL resistentsust vask-indutseeritud oksüdatiivsele stressile apolipoproteiin E defitsiitsetel hiirtel nii kaptopriil – 50 mg/kg/päevas (Hayek *et al.* 1998), fosinopriil – 5 mg/kg/päevas ja 25 mg/kg/päevas (Hayek *et al.* 1999) kui ka ramipriil – 5 mg/kg/päevas (Keidar *et al.* 2000). Inimese tavalised säilitusannused on järgmised: kaptopriil 25 mg 2...3 korda päevas, fosinopriil 10...40 mg päevas ja ramipriil 2.5...5 mg päevas ning maksimaalsed ööpäevased annused: kaptopriil 150 mg, fosinopriil 40 mg ja ramipriil 10 mg päevas (Pharmaca Estica 2005).

Raua ionide poolt põhjustatud erütrotsüütide deformeeritavuse katsetest selgus, et ükski uuritud raviainetest ise EKM-i ei mõjuta, kuid kõik nad omavad juba terapeutilistes kontsentratsioonides kaitsetoimet raua kahjuliku toime vastu ja seda sõltuvalt Fe^{2+} kontsentratsioonist (vt. tabel 8). Väikese raua kontsentratsiooni poolt põhjustatud EKM-i muutuste eest kaitseb hästi kaptopriil, keskmiste kontsentratsioonide eest kaitsevad kaptopriil ja ramiprlaat ning kõige suurema raua kontsentratsiooni puhul on kaitsetoime fosinoprilaadil.

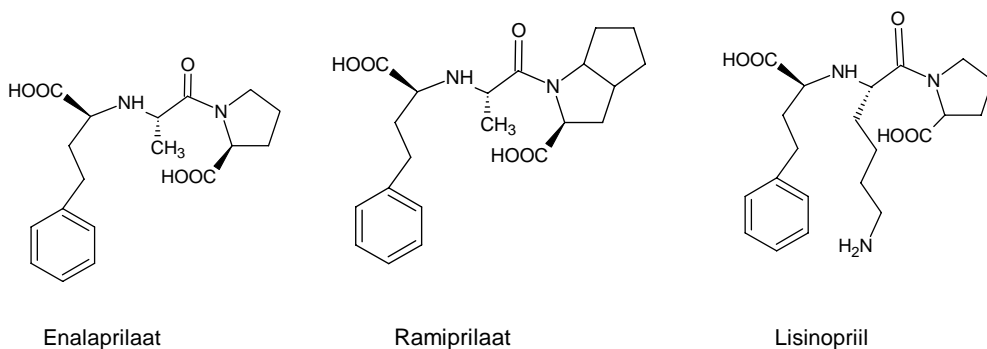
Punalibledega teostatud katsete tulemused ei toeta SH-rühma teooriat, sest kõik uuritud raviained kaitsesid raua pro-oksüdantse toime eest. Kuna antioksüdantset toimet seletatakse lisaks vabade radikaalide püüdmisele ka metalli kelaatimisega ning raviainete mittespetsiifilise seostumisega makromolekulide nende aladega, mis on olulised vabade radikaalide genereerimises või vabade radikaalide rünnakus (Fernandes *et al.* 1996; Bartosz *et al.* 1997; Fernandez *et al.* 1998; Tamba & Torreggiani 2000), võib uuritud raviainete kaitsetoime olla seotud nende mehanismidaga.

AKE inhibiitorite ravitoime avaldumiseks peavad nad vastava ensüümi pärssima. Kuna AKE aktiivtsenter sisaldab tsingi aatomit, peavad raviained metalliga ligande moodustama (vastutavad funktsionaalrühmad toodud joonisel 7). Järelikult võivad nad seda teha ka teiste metallidega. On näidatud kaptopriili, enalaprilaadi ja lisinopriili vaske ja rauda kelaativ toime. Cu^{2+} moodustab kaptopriili ja lisinopriiliga metall:ligand kompleksi 1:1, enalaprilaadiga 1:2 (enalaprilaadi korral moodustub 1:1 kompleks Cu^{1+} -ga); Fe^{2+} moodustab enalaprilaadiga kompleksi 1:1, kaptopriiliga 1:2 ja lisinopriil rauaga kompleksi ei moodusta (Fernandez *et al.* 1998).

Raua kontsentratsioon erütrotsüütide katses oli 150 μM , 300 μM , 450 μM ja 600 μM . Uuritud raviainete kontsentratsioonid olid tunduvalt väiksemad – kaptopriilil

5 µM ja 30 µM; ramiprilaadil 0.02 µM, 0.04 µM ja 0.08 µM, fasinoprilaadil 0.29 µM ja 0.40 µM.

Enalaprilaat, ramiprilaat ja lisinopriil sisaldavad kahte karboksülrühma (joonis 8). Enalaprilaadi struktuur on ramiprilaadi omaga sarnasem, seetõttu eeldame, et ramiprilaat moodustab komplekse sarnaselt enalaprilaadiga. Fasinoprilaadi komplekside moodustumise kohta konkreetsed andmed puuduvad, kuid kuna raviaine kontsentratsioon on raua omaga vörreledes väga väike, siis ilmselt olulist kelaatimist ei toimu. Seega ei saa meie töös ilmnenedud efekti – uuritud raviained vähendavad raua ionide poolt põhjustatud erütrotsüütide kromatograafilise migratsiooni muutuseid – seletada raviainete võimega moodustada rauaga ligande.



Joonis 8. Enalaprilaadi, ramiprilaadi ja lisinopriili struktuurvalemid.

Punaliblede katses näitasid raviained pro-oksüdant raua kontsentratsioonist sõltuvat positiivset efekti. Võimalik, et see on siiski seotud sulfhüdrüül-, karboksüül- ja fosfinüürühma ning raua vastastikusest mõjutamisest, kuid samas võib vastutajaks olla ka mingi muu tegur – näiteks molekuli suurus, süsinikahela pikkus, teised funktsionaalrühmad.

Antud töös saadud tulemuste põhjal osutus uuritavatest raviainetest antioksüdantsuse seisukohalt kõige paremaks kaptopriil, millel ilmnes positiivne efekt kõikides teostatud uuringutes. Ta omas kõrget totaalset antioksüdantset mahtuvust (TAS), püüdis ülitoksilist hüdroksüüradikaali, pikendas LDL oksüresistentsust ja kaitses erütrotsüüte pro-oksüdantse raua kahjuliku toime eest. Teised uuritud raviained (ramiprilaat ja fasinoprilaat) omasid antioksüdantset toimet vaid kaheivalentse raua kui keskse pro-oksüdandi suhtes. Saadud tulemused toovad esile uuritud AKE inhibiitorite positiivse omadusena antioksüdantse toime, sest kaitstes erütrotsüütide deformatsiooni vähenemist, vähendatakse oluliselt võimalusi mikrotsirkulatsiooni tõsiseks häirimiseks tugeva

kahjustava membraanilipiidiide peroksüdatsiooni tingimustes. Rauda puudutav informatsioon on äärmiselt oluline hemokromatoossete kõrgvererõhktõvega haigete puhul.

JÄRELDUSED

1. Sulf hüdrüürühma sisaldava kaptopriili antioksüdantsus on suurem kui fosfinüürühma sisaldaval fosinoprlaadil ja kahte karboksüürühma sisaldaval ramiprlaadil, sest kaptopriili TAS on märkimisväärsest kõrgem kui ülejäänud raviainetel. Fosinoprladi ja ramiprladi väga väike TAS väärthus viitab nende minimaalsele/ puuduvale antioksüdantsusele.
Kaptopriil on suuteline elimineerima ülitoksilist hüdroksüüradikaali. Ramiprlaat ja fosinoprlaat hüdroksüüradikaali ei kõrvalda.
2. Kaptopriil pikendab LDL lagfaasi märkimisväärsest ($p<0.05$). Ramiprlaat ja fosinoprlaat väiksemas kontsentratsioonis statistiliselt olulist muutust LDL lagfaasis esile ei kutsu ($p>0.05$). Suurema kontsentratsiooniga fosinoprladi lahus lühendab LDL lagfaasi keskmiselt 4 minuti võrra ($p<0.05$).
3. Uuritud raviained ise erütrotsüütide kromatograafilist migratsiooni (EKM) ei mõjuta ($p>0.05$), kuid omavad teatud kaitsetoimet raua ionide poolt põhjustatud erütrotsüütide deformeeritavusele ja seda sõltuvalt Fe^{2+} kontsentratsioonist. Väikese raua kontsentratsiooni ($150 \mu\text{M}$) poolt põhjustatud EKM-i muutuste eest kaitseb hästi kaptopriil, keskmiste raua kontsentratsioonide ($300 \mu\text{M}$ ja $450 \mu\text{M}$) eest kaitsevad kaptopriil ja ramiprlaat ning kõige suurema raua kontsentratsiooni ($600 \mu\text{M}$) puhul on kaitsetoime fosinoprlaadil.

KOKKUVÕTE

Paljude haiguste – sh. ateroskleroos, isheemilised kahjustused, reumatoidarriit, vähktõbi, neurodegeneratiivsed haigused – patogenesis on olulisel kohal ülemäärase oksüdatiivse stressi. Viimane kujuneb organismis juhul, kui oksüdatiivsete stressorite produktsioon ületab antioksüdantse kaitsevõime, mis omakorda viibki potentsiaalsele kahjustusele tekkele. Mida kestvam ja sügavam on oksüdatiivne stress, seda suuremad kahjustused avalduvad biomolekulide struktuurides ning seda sügavamalt häirub nende talitus.

On selgunud, et ka ravimid võivad anda oma osa ülemäärase oksüdatiivse stressi tekkes. Sellest tulenevalt oli käesolevas töö eesmärgiks võrrelda AKE inhibiitorite antioksüdantset potentsiaali erinevate meetodite abil, võrrelda AKE inhibiitorite toimet LDL oksüdatiooni-mudeli kasutamisega ning võrrelda AKE inhibiitorite enda toimet erütrotsüütide deformatsioonile ja võimalikku kaitsetoimet raud-initieeritud deformatsioonihäirete vastu.

Totaalse antioksüdantse potentsiaali uuringud näitasid, et kaptopriili antioksüdantne potentsiaal on fosinoprlaadi ja ramiprlaadi omast suurem, sest kaptopriili lahuse TAS on märkimisväärselt kõrgem kui ülejäänutel. Peale kõrge TAS väärtsuse osutab kaptopriili antioksüdantsusele ka võime püüda efektiivselt ülitoksilisi hüdroksüülradikaale. Fosinoprlaat ja ramiprlaat OH[•] ei kõrvaldanud.

Kaptopriilil ilmnas kaitsetoime ka lipiidide peroksüdatiooni vastu. Nimelt pikendab ta märkimisväärselt LDL lagfaasi ($p<0.05$), vastupidiselt fosinoprlaadile, mille suurema kontsentratsiooniga lahus isegi lühendab mõnevõrra LDL lagfaasi ($p<0.05$). Ramiprlaadi ning fosinoprlaadi väiksema kontsentratsiooniga lahused stataliselt olulist muutust LDL lagfaasile ei omanud.

Erütrotsüütide deformatsioonile uuritud raviained ise mõju ei avaldanud, kuid neil ilmnas kaitsetoime pro-oksüdantse raua kahjuliku toime eest. Kaptopriili, ramiprlaadi ja fosinoprlaadi lahuste toimel vähenevad raua ionide poolt põhjustatud muutused erütrotsüütide kromatograafilises migratsioonis. Muutus sõltub raua kontsentratsioonist – väiksema raua kontsentratsiooni poolt põhjustatud EKM-i muutuste eest kaitseb hästi kaptopriil, keskmiste kontsentratsioonide eest kaitsevad kaptopriil ja ramiprlaat ning kõige suurema raua kontsentratsiooni puhul on kaitsetoime fosinoprlaadil.

Käesolevas töös saadud tulemuste põhjal osutus uuritavatest raviainetest antioksüdantsuse seisukohalt kõige paremaks kaptopriil. Ta omas kõrget totaalset antioksüdantset

mahtuvust (TAS), püüdis ülitoksilist hüdroksüülradikaali, pikendas LDL oksüresistentsust ja kaitses erütrotsüüte pro-oksüdantse raua kahjuliku toime eest.

KASUTATUD KIRJANDUS

- Aberkane H, Stoltz JF, Galteau MM, Wellman M. Erythrocytes as targets for gamma-glutamyltranspeptidase initiated pro-oxidant reaction. *Eur J Haematol* 2002; 68: 262-271.
- Aruoma OI. Characterization of drugs as antioxidant prophylactics. *Free Rad Biol Med* 1996; 20(5): 675-705.
- Barreto JC, Smith GS, Strobel NHP, McQuillin PA, Miller TA. Terephthalic acid: a dosimeter for the detection of hydroxyl radicals in vitro. *Life Sciences* 1995; 56(4): 89-96.
- Bartosz M, Kedziora J, Bartosz G. Antioxidant and prooxidant properties of captopril and enalapril. *Free Rad Biol Med* 1997; 23(5): 729-735.
- Benzie IFF, Tomlinson B. Antioxidant power of angiotensin-converting enzyme inhibitors *in vitro*. *Br J Clin Pharmacol* 1998; 45: 168-169.
- Birukov KG. Oxidized lipids: the two faces of vascular inflammation. *Curr Atheroscler Rep* 2006; 8(3): 223-231.
- Blumenthal M. Treatment of congestive heart failure. Experience with fosinopril. *Am J Hypertens* 1997; 10: 289S-298S.
- Brown NJ, Vaughan DE. Angiotensin-Converting Enzyme Inhibitors. *Circulation* 1998; 97: 1411-1420.
- Cai H, Harrison DG. Endothelial dysfunction in cardiovascular diseases: the role of oxidant stress. *Circ Res* 2000; 87: 840-844.
- Comporti M, Signorini C, Buonocore G, Ciccoli L. Iron release, oxidative stress and erythrocyte ageing. *Free Rad Biol Med* 2002; 32(7): 568-576.
- Creasey WA, Funke PT, McKinstry DN, Sugerman AA. Pharmacokinetics of captopril in elderly healthy male volunteers. *J Clin Pharmacol* 1986; 26(4): 264-268.
- De Nigris F, D'Armiento FP, Somma P, Casini A, Andreini I, Sarlo F, Mansueti G, De Rosa G, Bonaduce D, Condorelli M, Napoli C. Chronic treatment with sulphydryl angiotensin-converting enzyme inhibitors reduce susceptibility of plasma LDL to *in vitro* oxidation, formation of oxidation-specific epitopes in the arterial wall, and atherogenesis in apolipoprotein E knockout mice. *Int J Cardiol* 2001; 81: 107-115.
- Ding PY, Chu KM, Hu OY, Huang GM, Jeng JJ, Chang A. Fosinopril: pharmacokinetics and pharmacodynamics in Chinese subjects. *J Clin Pharmacol* 1999; 39(2): 155-160.
- Esterbauer H, Striegl G, Puhl H, Rotheneder M. Continuous monitoring of *in vitro* oxidation of human low density lipoprotein. *Free Rad Res Comms* 1989; 6: 67-75.

European Pharmacopeia, 5th Edition, 2004.

Evangelista S, Manzini S. Antioxidant and cardioprotective properties of the sulphydryl angiotensin-converting enzyme inhibitor zofenopril. *J Int Med Res*. 2005; 33(1): 42-54.

Fernandes AC, Filipe PM, Freitas JP, Manso CF. Different effects of thiol and nonthiol ACE inhibitors on copper-induced lipid and protein oxidative modification. *Free Radic Biol Med* 1996; 20(4): 507-514.

Fernandez MT, Silva MM, Mira L, Florencio MH, Gill A, Jennings KR. Iron and copper complexation by angiotensin-converting enzyme inhibitors. A study by ultraviolet spectroscopy and electrospray mass spectrometry. *J Inorg Biochem* 1998; 71: 93-98.

Franklin ME, Addisson RS, Baker PV, Hooper WD. Improved analytical procedure for measurement of captopril in human plasma by gas chromatography - mass spectrometry and its application to pharmacokinetic studies. *J Chromatogr Biomed Sci Appl* 1998; 705(1): 47-54.

Griendling KK, FitzGerald GA. Oxidative Stress and Cardiovascular Injury: Part II: Animal and Human Studies. *Circulation* 2003; 108: 2034-2040.

Haak E, Haak T, Kusterer K, Reschke B, Faust H, Usadel KH. Microcirculation in hyperglycemic patients with IDDM without diabetic complications – effect of low-dose angiotensin-converting enzyme inhibition. *Exp Clin Endocrinol Diabetes* 1998; 106: 45-50

Halliwell B, Gutteridge JMC. Free Radicals in Biology and Medicine. 1999. Third edition. Oxford University Press Inc. New York.

Hayek T, Attias J, Coleman R, Brodsky S, Smith J, Breslow JL, Keidar S. The angiotensin-converting enzyme inhibitor, fosinopril, and the angiotensin II receptor antagonist, losartan, inhibit LDL oxidation and attenuate atherosclerosis independent of lowering blood pressure in apolipoprotein E-deficient mice. *J Cardiovasc Res* 1999; 44: 579-587.

Hayek T, Attias J, Smith J, Breslow JL, Keidar S. Antiatherosclerotic and antioxidative effects of captopril in apolipoprotein E-deficient mice. *J Cardiovasc Pharmacol* 1998; 31: 540-544.

Hayek T, Kaplan M, Raz A, Keidar S, Coleman R, Aviram M. Ramipril administration to atherosclerotic mice reduces oxidized low-density lipoprotein uptake by their macrophages and blocks the progression of atherosclerosis. *Atherosclerosis* 2002; 161(1): 65-74.

Iciek M, Polak M, Wlodek L. Effect of thiol drugs on the oxidative hemolysis in human erythrocytes. *Acta Pol Pharm* 2000; 57(6): 449-454.

Jialal I, Devaraj S. Low-density lipoprotein oxidation, antioxidants and atherosclerosis: a clinical biochemistry perspective. *Clin Chem* 1996; 42(4): 489-506.

Keidar S, Attias J, Coleman R, Wirth K, Scholkens B, Hayek T. Attenuation of the atherosclerosis in apolipoprotein E-deficient mice by ramipril is dissociated from its antihypertensive effect and from potentiation of bradykinin. *J Cardiovasc Pharmacol* 2000; 35(1): 64-72.

Khanna S. Thiol Antioxidants. Protection Against Oxidative Stress and Redox Regulation of Cellular Responses. 2000. Kuopio University Printing Office. Kuopio.

Kiivet RA, Harro J, Maimets M, Rägo L. Farmakoteraapia käsiraamat arstile. 1995. AS Trükiekspert. Tartu.

Lapenna D, De Gioia S, Ciofani G, Daniele F, Cuccurullo F. Captopril has no significant scavenging antioxidant activity in human plasma *in vitro* or *in vivo*. *Br J Clin Pharmacol* 1996; 42: 451-456.

Lowry OH, Rosenbrough NJ, Farr AL, Randall RJ. Protein measurement with the folin phenol reagent. *J Biol Chem* 1951; 193: 265-275.

Meisel S, Shamiss A, Rosenthal T. Clinical pharmacokinetics of ramipril. *Clin Pharmacokinet* 1994; 26(1): 7-15.

Mira ML, Silva MM, Queiroz MJ, Manso CF. Angiotensin converting inhibitors as oxygen free radical scavengers. *Free Rad Res Commun* 1993; 19(3): 173-181.

Murdoch D, McTavish D. Fosinopril. A review of its pharmacodynamic and pharmacokinetic properties, and therapeutic potential in essential hypertension. *Drugs* 1992; 43(1): 123-140.

Münzel T, Keaney JF. Are ACE Inhibitors a “Magic Bullet” Against Oxidative Stress? *Circulation* 2001; 104: 1571-1574.

Nakagawa K, Ueno A, Nishikawa Y. Interactions between carnosine and captopril on free radical scavenging activity and angiotensin-converting enzyme activity in vitro. *Yakugaku Zasshi* 2006; 126(1): 37-42.

O’Keefe JH, Wetzel M, Moe RR, Brosnahan K, Lawie CJ. Should an angiotensin-converting enzyme inhibitor be standard therapy for patients with atherosclerotic disease? *J Am Coll Cardiol* 2001; 37: 1-8.

Pharmacaca Estica 2005.

Rang HP, Dale MM, Ritter JM, Moore PK. Pharmacology Fifth Edition. 2003. Churchill Livingstone.

Rice-Evans C, Leake D, Bruckdorfer R, Diplock AT. Practical Approaches to Low Density Lipoprotein Oxidation: Whys, Wherefores and Pitfalls. *Free Radical Res* 1996; 25(4): 285-311.

Ruf G, Gera S, Luus HG, Trenk D, de la Rey N, Löffler K et al. Pharmacokinetics and pharmacodynamics of ramipril and piretanide administered alone and in combination. *Eur J Clin Pharmacol* 1994; 46: 545-550.

Ruiz-Munoz LM, Vidal-Vanaclocha F, Lampreable I. Enalaprilat inhibits hydrogen peroxide production by murine mesangial cells exposed to high glucose concentrations. *Nephrol Dial Transplant* 1997; 12: 456-464.

Tamba M, Torreggiani A. Free radical scavenging and copper chelation: a potentially beneficial action of captopril. *Free Rad Res.* 2000; 32: 199-211.

Vasilyev AP. Estimation of red cell deformability index. *Laboratornoe Delo* 1991; 9: 44-46.

Verho M, Luck C, Stelter WJ, Rangoonwala B, Bender N. Pharmacokinetics, metabolism and biliary and urinary excretion of oral ramipril in man. *Curr Med Res Opin* 1995; 13: 264-273.

Zalba G, San José G, Moreno MU, Fortuño MA, Fortuño A, Beaumont F J, Díez J. Oxidative Stress in Arterial Hypertension. Role of NAD(P)H Oxidase. *Hypertension* 2001; 38: 1395.

Zhang A, Vertommen J, Van Gaal L, De Leeuw I. A rapid and simple method for measuring the susceptibility of low-density-lipoprotein and very-low-density-lipoprotein to copper catalyzed oxidation. *Clin Chim Acta* 1994; 227: 159-173.

Zhou X, Robertson AKL, Rudling M, Parini P, Hansson GK. Lesion Development and Response to Immunization Reveal a Complex Role for CD4 in Atherosclerosis. *Circ Res* 2005; 96: 427-434.

Zilmer M, Karelson E, Vihalemm T. Meditsiiniline biokeemia II. 1999. Tartu Ülikooli Kirjastus. Tartu.

Zilmer M, Zilmer K. Oksüdatiivne stress ja antioksüdantravi. 1994. Tartu.

SUMMARY

Antioxidativity-based comparison of ACE inhibitors

Oxidative stress plays crucial role in the pathogenesis of many diseases, including atherosclerosis, hypertension, heart failure, rheumatoid arthritis, cancer, neuro-degenerative diseases. Oxidative stress develops in conditions where excessive production of pro-oxidants overcomes endogenous antioxidant defence mechanisms, which leads to potential damages. Profound oxidative stress leads to substantial injuries in biomolecules, lipoproteins and structures.

It has been shown drugs participate in development of oxidative stress. Due to such reasons the aims of this study were to compare *in vitro*

- 1) antioxidative activity of ACE inhibitors via using different methods (total antioxidative status (TAS) and hydroxyl radical scavenging potency),
- 2) ACE inhibitors' oxy-resistance causing potency (LDL lag-phase),
- 3) the effects of ACE inhibitors on iron-driven alteration of deformability of red blood cells (RBCs).

We used three different ACE inhibitors – sulphydryl-containing captopril, two-carboxyl groups containing ramipril active metabolite ramiprilat and phosphinyl group containing fosinopril active metabolite fosinoprilat.

The total antioxidative status of ACE inhibitors was determined using a standard kit. The hydroxyl radical scavenging potency of ACE inhibitors was elucidated using terephthalic acid method. The resistance of LDL to oxidation was estimated by permanent monitoring of the formation of diene conjugates. Chromatographic migration of RBCs (a marker of their deformability) was measured with and without ACE inhibitors pre-treatment.

The results of TAS show that antioxidative potential of captopril is higher than of fosinoprilat and ramiprilat as captopril has a remarkable TAS value whereas the other drugs did not have. An antioxidativity of captopril indicates its potency for scavenging of very toxic hydroxyl radicals. Ramiprilat and fosinoprilat did not scavenge hydroxyl radical.

This study revealed that a pre-incubation with captopril remarkably increased the resistance of plasma LDL fraction to oxidation ($p<0.05$). Fosinoprilat at higher concentrations, on the contrary, shortens the lag-phase of the LDL ($p<0.05$). Ramiprilat

and fosinoprilat at lower concentrations did not have statistical significant effect to the LDL lag-phase.

Chromatographic migration of RBCs (a marker of their deformability) was measured with and without captopril, ramiprilat and fosinoprilat pre-treatment. Experiments showed that investigated substances suppressed an iron-driven alteration of RBCs deformability already at therapeutic concentrations. The efficiency of the used substances was dependent on iron concentration. Captopril was able to avoid the alterations of chromatographic migration of RBCs caused by low and medium iron concentration. Ramiprilat suppressed chances of chromatographic migration of RBCs at medium iron concentration and fosinoprilat did it at higher iron concentration.

The results of this study indicate that on the basis of antioxidativity captopril was the best of investigated drugs. It has a relative high total antioxidative capacity value, exhibit potency for scavenging of hydroxyl radicals, remarkably increased resistance of plasma non-HDL fraction to oxidation and avoids an iron-potentiated alteration of chromatographic migration of RBCs already at therapeutic concentrations. Ramiprilat and fosinoprilat are also able avoids an iron-driven alteration of chromatographic migration of RBCs already at therapeutic concentrations. Thus, any drug, which is able also to avoid the extremely adverse actions of free iron, has a higher therapeutic impact compared with compounds lacking such effect.

TÄNUAVALDUSED

Tänan oma juhendajaid professor Mihkel Zilmerit ja professor Peep Veskit.

Samuti tänan Kersti Zilmerit igakülg sel abistamisel töö läbiviimisel, heade soovituste ja nõuannete eest.

Suur tänu kolleegidele Biokeemia Instituudist, kes olid vajadusel alati abiks; Verekeskuse töötajatele, kes abistasid veenivere kogumisel; Ravimiametile ning firmadele Aventis Pharma (Hoechst AG) ja Bristol-Myers Squibb, vajalike ainete eest.

PUBLIKATSIOONID

**I. Teder K, Zilmer K, Kals J, Zilmer M. AKE inhibiitorite
toime erüetrotsüütide rauast tingitud deformatsiooni
muutustele. Eesti Arst, 2004, 83 (8): 515-519.**

AKE inhibiitorite toime erütrotsüütide rauast tingitud deformatsiooni muutustele

Külli Teder, Kersti Zilmer, Jaak Kals, Mihkel Zilmer - TÜ biokeemia instituut

kaptopriil, ramipriilaat, fosinopriilaat, raud, erütrotsüütid

Töös uriti, kas AKE inhibiitorid kaptopriil, ramipriil ja fosinopriil on võimelised terapeutiliste kontsentratsoonides *in vitro* ära hoidma raud-initseeritud erütrotsüütide deformatsiooni vähenemist. Kuna ramipriil ja fosinopriil muudetakse organismis aktiivvormideks, uuriti nende puhul aktiivvorme ehk ramipriilaati ja fosinopriilaati. Erütrotsüütide deformeeritavust hinnati kromatograafilise migratsiooni kaudu, määrates seda enne ja pärast ravimiga eeltöötlust. Leiti, et raua poolt põhjustatud erütrotsüütide deformatsiooni vähenemist takistasid kõik uuritavad ained ja seda juba terapeutilistes kontsentratsioonides. Erinevate AKE inhibiitorite toime efektiivsus oli samal ajal sõltuv rauakontsentraatsioonist.

Kõrgenenud arteriaalne vererõhk möjutab palju kardiovaskulaarsete haiguste kulgu. Sageli kasutatakse vererõhu langetamiseks angiotensiini konverteeriva ensüumi (AKE) inhibiitoreid: kaptopriili, fosinopriili, ramipriili, enalapriili, lisinopriili jt (1). Uuringud, mis tooksid esile uusi aspekte seda tüpi AKE inhibiitorite kohta ja seda võrdlevalt, on hüpertensiooni ravis väga vajalikud, sest ravi on pikajaline, tihti elukeste. AKE inhibiitorite ja mikrotsirkulatsiooni seosed on vererõhu seisukohalt võetuna väga olulised (2). Seega peaks teadma hüperfooniaravimite mõju erütrotsüütide ja teiste vererakkude reoloogilistele parameetritele. Eelnevast lähtudes uurisime erütrotsüütide deformeeritavust, mis tegelikult otsustabki nende võime läbida väga väikese läbimõõduga kapillaare piisava kiirusega. Testisime seda raua juuresolekul, sest kahevalentne raud on üks võimsamatest pro-oksüdantidest, rauda vabastavaid sündmusi esineb inimorganismis tihti ning samas on ka rauapreparaatide kasutamine väga sage. On teada, et raud võib kestva oksüdatiivse stressi tingimustes oma sidujatest, ka hemoglobiinist ja ferritiinist, vabaneada. Vabad rauaionid põhjustavad erütrotsüütide membraaniliipiidide peroksüdatsiooni ning kahjustavad erütrotsüütide membraani, mistöttu häirub erütrotsüütide elastus ja deformeeritavus ning nad võivad väikeses veresoontes peetuda, aga ka verevoolu lõttu puruneda (1, 3, 4).

Uurimuse **eesmärgiks** oli uurida, kas

- AKE inhibiitoritel endil võiks olla terapeutilises kontsentraatsioonis erütrotsüütide deformeeritavust häiriv toime;
- raud möjutab erütrotsüütide deformeeritavust ning kas AKE inhibiitorid võksid omada kaitsetoimet raua mõju suhtes.

Uurimismaterjal ja -meetodid

Töös uriti kolme AKE inhibiitorit: kaptopriili, ramipriili ja fosinopriili. Katsed teostati organismis toimet avaldavate ravimivormidega, st kaptopriili, ramipriilaadi ning fosinopriilaadi (vastavalt ramipriili ja fosinopriili aktiivsed metaboliidid). Kaptopriil saadi Ravimiametist, ramipriilaat firmast Aventis Pharma (Hoechst AG), fosinopriilaat firmast Bristol-Myers Squibb. Veeniveri võeti vabatahtlikelt tervetelt doonoritelt hepariiniga Vacutainer-katusesse. Töös kasutati füsiologilises lahuses lahusatud ravimeid järgmises lõppkontsentraatsioonis: kaptopriil 5 µM, ramipriilaat 7,5 ng/ml, 15 ng/ml ja 30 ng/ml ning fosinopriilaat 125 ng/ml ja 175 ng/ml. Need valiti kirjanduse andmetel. Kaptopriili suukaudne annus on 50...100 mg päevas, mis annab plasma sisalduseks 3–8 µM (5, 6). Fosinopriili ühekordne suukaudne annus on 10 mg, millest moodustub plasmas 113...242 ng/ml fosinopriilaadi sisalduse (7, 8). Ramipriili ühekordne suukaudne annus 5 mg vastab plasma

4...10 ng/ml ramiprlaadi sisaldusele (9, 10). Pro-oksüdantse koormuse mudelsüsteem tekitati FeSO₄ · 7H₂O kasutamisega inkubatsioonisegus nii, et raua lõppkonsentratsioon oleks 150 µM, 300 µM, 450 µM ja 600 µM.

Erütrotsüütide kromatograafilist migratsiooni (EKM) määraati kromatograafilisel paberil *Filtrak 388*, kasutades meie väljaarendatud mudelsüsteemi, mis põhineb eelnevalt kirjeldatud meetodil (11). Erütrotsüüdid eraldati verest tsentrifugimisel: 500 pööret minutis 5 minuti jooksul. Isoleeritud erütrotsüüdid pesti neli korda 0,9% NaCl lahusega. Viimase tsentrifugimise järel resuspendeeriti erütrotsüüdid füsioloogilises lahuses 60% "hematokritini". Erütrotsüüte inkubeeriti 60 min 37 °C juures ilma pro-oksüdandita (raud) ning pro-oksüdandi erineva konsentratsiooni juures ilma ravimita (kontroll). Ravimi mõju uurimiseks eelinkubeeriti erütrotsüütide suspensiooni ravimi lahusega 10 min 37°C juures enne 0,1 ml Fe²⁺ lahuse lisamist. Kromatograafilisele paberile horisontaalsel raamil pipeteeriti 0,2 ml füsioloogilist lahust (lahusti) ning 60 sekundi pärast kanti samasse keskpunkti 0,02 ml erütrotsüütide suspensiooni (katse). Mõlema ala (lahusti ja katse) diameetrid (vastavalt dl ja dk) mõõdeti 60 sekundi pärast. EKM (protsentides) arvutati järgmise valemiga kohaselt:

$$EKM = \frac{dk}{dl} \cdot 100\%$$

Andmete statistilisel analüüsил kasutati arvutiprogrammi Microsoft Excel. Erinevust peeti statistiliselt oluliseks $p < 0,05$ korral.

Tulemused

Eelkäsetes leiti, et kasutatud ravimite toimel erütrotsüütide kromatograafiline migratsioon ei muutu. Raua toimel erütrotsüütide deformatsioon väheneb ja seda raua konsentratsioonist sõltuvalt ning statistiliselt tõenäoliselt. Tabelis 1 on toodud EKM erinevate rauakonsentratsioonide juures. Deformatsiooni vähenemine väljendus erütrotsüütide poolt tekitatud migratsiooniala diameetri vähenemises raua juuresolekul. Ravimite toimet raud-tingitud erütrotsüütide kromatograafilise migratsiooni suhtes

näitavad tabelis 2 toodud andmed. Seal on toodud ravimite kaitsetoime protsentides. Mida suurem on see arv, seda võimsam on ravimi kaitsetoime. Lisagem, et lõös kasutatud suuremate rauakonsentratsioonide tõttu on igasugune statistiliselt tõenäoline kaitsetoime deformatsiooni vähema häirumise seisukohalt igati positiivne. Nagu näha tabeli 1 ja 2 andmete kõrvutamisel, kaitseb 5 µM kaptopriili erütrotsüütide membraane Fe²⁺ peroksüdatiivse toime eest täielikult rauakonsentratsioonil 150 µM, kusjuures see kaitsetoime on statistiliselt tõenäoline nagu ka 300 µM ja 450 µM raua puhul. Ramiprlaadi konsentratsioonid 7,5 ng/ml, 15 ng/ml ja 30 ng/ml kaitsevad samuti Fe²⁺ oksüdatiivse toime eest. Statistikiliselt tõenäoline kaitsetoime on köökidel ravimikonsentratsioonidel 300 µM ja 450 µM Fe²⁺ juures. Tähelepanu värib see, et kaitsetoime on 30 ng/ml ramiprlaadi lahusel pisut tugevam kui kaptopriili puhul. Lisaks esineb 30 ng/ml ramiprlaadi lahusel teatud kaitsetoime isegi 600 µM Fe²⁺ juures. 125 ng/ml ja 175 ng/ml fosinoprlaadi lahustel on statistiliselt tõenäoline kaitsetoime vaid 600 µM Fe²⁺ juures.

Tabel 1. Raua mõju erütrotsüütide kromatograafilisele migratsioonile (muutused statistiliselt tõenäolised)

Kontroll	150 µM Fe ²⁺	300 µM Fe ²⁺	450 µM Fe ²⁺	600 µM Fe ²⁺
100%	98%	85%	77%	73%

Kontrolliks erütrotsüüdid füsioloogilises lahuses.

Hajuvuspiirid 5–10% nädu väljätmest.

Tabel 2. Kaptopriili (KAP; n = 12), ramiprlaadi (RAM; n = 8) ja fosinoprlaadi (FOS; n = 10) kaitsetoime (protsentides) vastava rauakonsentratsiooni juures

	150 µM Fe ²⁺	300 µM Fe ²⁺	450 µM Fe ²⁺	600 µM Fe ²⁺
5 µM KAP	4*	6*	7*	2
7,5 ng/ml RAM	2	11*	5*	2
15 ng/ml RAM	1	7*	8*	0
30 ng/ml RAM	4	9*	10*	3*
125 ng/ml FOS	1	1	6	8*
175 ng/ml FOS	0	0	3	8*

* $p < 0,05$

Hajuvuspiirid 5–10% nädu väljätmest.

Arutelu

On selge, et ravimid, mis on suutelised ära hoidma vaba raua väga väimsat pro-oksüdantset kahjulikku toimet, omavad ka teatud antioksüdantset toimet ja on seega suurema terapeutilise potentsiaaliga kui ravimid, millel selline efekt puudub või mis hoopis võimendavad raua kahjustavat toimet. Rauaprobleemid on üha enam päevakorral ka seotu, et raua kuhjumine organismis on viimasel ajal tõusnud mitme haiguse oluliste patogeneesfaktorite hulka.

Mikrotsirkulatsiooni normaalseks toimimiseks peavad erütrotsüdid deformeeruma, et läbida kitsaid, endast väiksema diameetriga kapillaare. Erütrotsüdid on oksüdatiivse kahjustuse suhtes eriti tundlikud länu suurele polüküllastamata rasvhapete hulgale membraanides, suurele rakusisele hapniku ning hemoglobiini hulgale, mis on kahjustava oksüdatiivse stressi võimalikuks soodustajaks (3). Suhkrugaigetel, hemodialüüsiga patientidel, kroonilistel alkohoolikutel, kardiovaskulaarsete haiguste korral on erütrotsüütide membraanilipiidiide tundlikkus peroksüdatsiooni suhtes suurenenud (3). Lisaks on kõrgenenud vererõhu, suhkrugaiguse korral ja müokardiinfarkti järel suurenenud plasma gamma-glutamüültranspeptidaasi (GGT) aktiivsus, kõrge GGT aktiivsusega inimestel on suurenenud erütrotsüütide oksüdatsiooni-tundlikkus ja vähenenud nende deformeeritavus (3). Süvenenud oksüdatiivse stressi korral (see on aga hüpertensioonile väga omane) võib raud oma sidujatest (sh ka hemoglobiinist) vabaneda ning põhjustada erütrotsüütide membraanilipiidiide peroksüdatsiooni, mis vähendab erütrotsüütide deformeeritavust (1, 3, 4). AKE inhibeeringine ramipriiliaga soodustab hemodünaamika paranemist, suurendab endoteelist sõljuvat vasodilatatsiooni (12) ning parandab perifeerse oblittereerauba aterosklerosiga patientide elulemust (13). Veel vähendab ramipriil südamepuudulikkuse tekke kiirust kardiovaskulaarsete tütluste suhtes suure riskiga patientide grupis (14). I tüüpi diabeediga hüperglükeemilistel patientidel võib ravi väikse ramipriiliannusega parandada mikrotsirkulatsiooni ka enne mikrovaskulaarsete komplikatsioonide ilmumist (2).

On leada, et normaalne seerumi rauasisaldus on meestel 11–28 µM ja naistel 6,6–26 µM (15). Selles töös valisime suuremad rauakontsentraatsioonid kui tavaliselt sissevõetavad preparaadid veres tekitada võksid, kuid sellised rauakontsentraatsioonid võivad organismis lokaalselt tekkida ja seda kindlasti mitmete patoloogiliste sündmuste puhul. On selge, et kui ravim suudab elimineerida suuremast rauakontsentraatsioonist tekitatud kahju, siis väiksematel rauakontsentraatsioonidel sellega probleeme ei teki. Raua profiilaktiline annus on tavaliselt 30 mg, ravidoosina kasutatakse ka 100 mg. Mitteheemest rauast imendub umbes 5%; seega vastavalt 1,5 mg ja 5 mg, mis annab 5 l veres kontsentraatsiooni kasvuks 0,3 mg/l (5,4 µM) ja 1 mg/l (17,9 µM). Kuid veres on ikkagi tegu transfertiiniga seotud rauaga, mitte vaba kaheväljentse rauaga. Seega ei saa situatsiooni seerumis otseselt oksüdatiivse stressi mudelsüsteemis tekitatud kontsentraatsioonidele üle kanda.

Meie tööst selgub, et kaptopriil, ramipriilaat ja fosinopriilaat on võimelised juba terapeutilistes kontsentraatsioonides välismaa rauaionide poolt põhjustatud erütrotsüütide deformeeritavuse olulist vähinemist. Uuritud ravimite kaitsev toime sõltub Fe^{2+} kontsentraatsioonist: väikse rauakontsentraatsiooni (150 µM) põhjustatud erütrotsüütide kromatograafilise migratsiooni muutuste eest kaitse hästi kaptopriil. Keskmise rauakontsentraatsioonide (300 µM ja 450 µM) eest kaitses ramipriilaat ning kõige suurema rauakontsentraatsiooni (600 µM) puhul oli teatud kaitsetoime fosinopriilaadil.

AKE inhibiitorite lipiidide peroksüdatsiooni vastast kaitsetoimet saab seletada metalli kelaatimisega (1, 16, 17), vabade radikaalide püüdmisega (1, 16, 17), nende mitespetsiifilise seostumisega makromolekulide nende aladega, mis on olulised vabade radikaalide genereerimises või vabade radikaalide rünnakus (1). Reaktiivsete hapnikuosakeste (ROS) genereerimine on kata-lüüsitud muutuva oksüdatsiooniastmega metallide ionide (eeskätt rauaionide) poolt, aga kui metall kelaatida, siis ei saa ta käituda pro-oksüdandina. On näidatud kaptopriili, enalapriilaadi ja lisinopriili

vaske ja rauda kelaativat toimet ning järeldatud, et SH-gruppi olemasolu struktuuris ei pruugi olla seega ROS püüdmise võime aluseks (1, 17). Siiski seostatakse seda tihti just kaptopriili koostises oleva tiolatrühmaga: vabad radikaalid ja teised oksüdandid reageerivad esmalt sellega konverteerides SH-rühma tiüülradiakaaliks või oksüdeerides kaptopriili disulfiidiks (1, 16). Vask moodustab kaptopriili, enalapriilaadi ja lisinopriiliga komplekse suhtes 1 : 1 (metall : ligand), raud on komplekside metall : ligand tekkes vasest väiksema efektiivsusega (17). Seega ei saa meie töös ilmnened efekti seletada raua kelaatimisega. AKE inhibiitoritel on kaitsetoime raua pro-oksüdantse toime suhtes, kuid ise nad erürotsüütide kromatograafilist migratsiooni statistiliselt ei mõjuta. Kuna raud on keskne pro-oksüdant, võib nende AKE inhibiitorite toimet pidada antioksüdantseks toimeks. Saadud tulemused viitavad AKE inhibiitorite positivsele mõjule, sest nad takistavad erürotsüütide deformeerumise langust, mis vähendab oluliselt võimalusi mikrotsirkulatsiooni

tõsiseks häirimiseks tugeva kahjustava membraaniliipide peroksüdatsiooni tingimustes.

Kokkuvõte

AKE inhibiitorid kaptopriil, ramipriilaat ja fosinopriilaat (vastavalt ramipriili ja fosinopriili aktiivsed metaboliidid) erürotsüütide deformatsioonile mõju ei avalda, kuid nad kaitsevad erürotsüütide membraani pro-oksüdantse raua kahjuliku toime eest. Erinevate AKE inhibiitorite toimemaksimum on raua erinevate kontsentraatsioonide juures. See töö annab ühe lisaargumendi AKE inhibiitorite kasutamiseks hüpertensiooni ravis olukorras, kui on tegu oksüdatiivse stressiga.

Tänuavalused

Täname vereeskuse töötajaid, kes lahkelt olid nöös abistama veenivere kogumisel. Ravimiametitning firmasid Aventis Pharma (Hoechst AG) ja Bristol-Myers Squibb, kust saime vajalikud ained. Tööd on toetanud Eesti Teadusfond [grant nr 5327].

Kirjandus

1. Fernandes AC, Filipe PM, Freitas JP, Manso CF. Different effects of thiol and nonthiol ACE inhibitors on copper-induced lipid and protein oxidative modification. *Free Radic Biol Med* 1996;4:507-14.
2. Haak E, Haak T, Kusterer K, Reschke B, Faust H, Usadel KH. Microcirculation in hyperglycemic patients with IDDM without diabetic complications-effect of low-dose angiotensin-converting enzyme inhibition. *Exp Clin Endocrinol Diabetes* 1998;106:45-50.
3. Aberkane H, Stoltz JF, Galteau MM, Wellman M. Erythrocytes as targets for gamma-glutamyltranspeptidase initiated pro-oxidant reaction. *Eur J Haematol* 2002;68:262-71.
4. Comporti M, Signorini C, Buonocore G, Ciccoli L. Iron release, oxidative stress and erythrocyte ageing. *Free Radic Biol Med* 2002;32:568-76.
5. Franklin ME, Addissian RS, Baker PV, Hooper WD. Improved analytical procedure for measurement of captopril in human plasma by gas chromatography - mass spectrometry and its application to pharmacokinetic studies. *J Chromatogr Biomed Sci Appl* 1998;705:47-54.
6. Creasey WA, Funke PT, McKinstry DN, Sugerman AA. Pharmacokinetics of captopril in elderly healthy male volunteers. *J Clin Pharmacol* 1986;26:264-8.
7. Ding PY, Chu KM, Hu OY, Huang GM, Jeng JJ, Chang A. Fosinopril: pharmacokinetics and pharmacodynamics in Chinese subjects. *J Clin Pharmacol* 1999;39:155-60.
8. Blumenthal M. Treatment of congestive heart failure. Experience with fosinopril. *Am J Hypertens* 1997;10[Suppl]:289-98.
9. Verhae M, Luck C, Stelter WJ, Rangoonwala B, Bender N. Pharmacokinetics, metabolism and biliary and urinary excretion of oral ramipril in man. *Curr Med Res Opin* 1995;13:264-73.
10. Ruf G, Gera S, Luus HG, Trenk D, de la Rey N, Löffler K, et al. Pharmacokinetics and pharmacodynamics of ramipril and piretanide administered alone and in combination. *Eur J Clin Pharmacol* 1994;46:545-50.
11. Vasilyev AP. Estimation of red cell deformability index. *Laboratornoe Delo* 1991;9:44-6.
12. Emanuelli C, Salis MB, Stacca T, Pinna A, Gaspa L, Spano A, Madeddu P. Ramipril improves hemodynamic recovery but not microvascular response to ischemia in spontaneously hypertensive rats. *Am J Hypertens* 2002;15:410-5.

13. Ostergren J, Sleight P, Dagenais G, Danisa K, Bosch J, Qilong Y, et al. Impact of ramipril in patients with evidence of clinical or subclinical peripheral arterial disease. Eur Heart J 2004;25:17–24.
14. Arnold JM, Yusuf S, Young J, Mathew J, Johnstone D, Avezum A, et al. Prevention of heart failure in patients in the Heart Outcomes Prevention Evaluation (HOPE) Study. Circulation 2003;107:1284–90.
15. Sigur U, Ora E. Ühendlabori käsiraamat 2002. Tartu: Tartu Ülikooli Kliinikum; 2002.
16. Bartosz M, Kedziora J, Bartosz G. Antioxidant and prooxidant properties of captopril and enalapril. Free Rad Biol Med 1997;23:729–35.
17. Fernandez MT, Silva MM, Mira L, Florencio MH, Gill A, Jennings KR. Iron and copper complexation by angiotensin-converting enzyme inhibitors. A study by ultraviolet spectroscopy and electrospray mass spectrometry. J Inorg Biochem 1998;71:93–8.

Summary

The effect of ACE inhibitors on iron-induced deformability of RBCs

We studied *in vitro* the effects of three ACE inhibitors at therapeutic concentrations on iron-caused alteration of deformability of red blood cells (RBCs). Ramipril and fosinopril act as pro-drugs; their active metabolites are ramiprilat and fosinoprilat. In our study, we used captopril, ramiprilat and fosinoprilat. Chromatographic migration of RBCs (a marker of their deformability) was

measured with and without pre-treatment with captopril, ramiprilat and fosinoprilat. The experiments showed that they all suppressed iron caused alteration of RBCs deformability already at therapeutic concentrations. The efficiency of the substances used was dependent on iron concentration.

kyllivi@ut.ee

**II. Teder K, Zilmer M, Kals J, Bender L, Kullisaar T, Hein H,
Põder P, Pulges A, Zilmer K. Captopril expresses
antioxidativity at therapeutic concentrations on different
models (manuscript)**

Captopril expresses antioxidant activity at therapeutic concentrations on different models

Külli Teder¹, Mihkel Zilmer¹ PhD, Jaak Kals^{1,2} MD, Lauri Bender¹, Tiiu Kullisaar¹ PhD, Helina Hein¹, Priit Põder² MD, Andres Pulges² PhD, Kersti Zilmer¹ PhD

¹Department of Biochemistry, Faculty of Medicine, University of Tartu, 19 Ravila Street, Tartu 50411, Estonia

²Department of Cardiovascular and Thoracic Surgery, Faculty of Medicine, University of Tartu, 8 Puusepa Street, Tartu 51014, Estonia

Author for correspondence: Külli Teder, Department of Biochemistry, 19 Ravila Street, Tartu 50411, Estonia; Phone: +37 27 374 310, Fax: +37 27 374 312; E-mail: kyllivi@ut.ee

ABSTRACT

Background: Angiotensin-converting enzyme (ACE) inhibitors have been available in clinical practice for treatment of several cardiovascular pathologies, but their all-possible molecular actions remains to be elucidated. As high-grade oxidative stress (OxS) is one of the key factors for several cardiovascular pathologies studies about different preventing influences of drugs on OxS-driven damages are urgently needed.

Objective: We studied the effects of captopril at therapeutic concentrations on oxy-resistance of non high-density lipoprotein (HDL) fraction (LPF) and iron-caused alteration of deformability of red blood cells (RBC), and measured its antioxidant activity and hydroxyl radical scavenging potency.

Methods: The resistance of LPF to oxidation was estimated by permanent monitoring of the formation of diene conjugates. Chromatographic migration of RBC, a marker their deformability, was measured with and without captopril pretreatment. The antioxidant activity of captopril was determined using a standard kit, and the hydroxyl radical scavenging potency of captopril was elucidated using terephthalic acid method.

Results: Captopril elongates the lag-phase of LPF ($p < 0.05$) and avoids an iron-caused alteration of chromatographic migration of RBCs already at therapeutic concentrations ($p < 0.05$). Captopril has relative high antioxidant activity and exhibit potency for scavenging of hydroxyl radicals.

Conclusions: According to this study we consider that, captopril acts as quite effective high-grade OxS-suppressing compound in several *in vitro* models. These findings facilitate to explain more clearly beneficial clinical effects of captoril.

Key words: captopril, cardiovascular diseases, iron, oxidative stress, plasma lipoproteins

INTRODUCTION

Angiotensin-converting enzyme (ACE) inhibitors have been available in clinical practice for treatment of arterial hypertension, congestive heart failure and after acute myocardial infarction.^{1,34,35} Recent evidence indicates their additional favorable clinical effects via hitherto not exactly known ways, even when used in patients without high blood pressure or left ventricular dysfunction.¹

Besides general well-known cardiovascular risk factors morbidity and mortality of these diseases depends also on the severe prolonged oxidative stress (OxS) characterized as disturbed balance between pro-oxidants and antioxidative defense. The OxS plays crucial role in the pathogenesis and disease progression of cardiovascular diseases via several mechanisms including OxS-driven transformation of plasma lipoproteins. Excessive modification of plasma non high-density lipoprotein (HDL) fraction (LPF) is detectable specific change in atherogenesis.²⁻⁸

Any manipulation, which prevents plasma lipoproteins to excessive oxidation, decreases their atherogenicity, which is important aspect tested for several drugs. Studies have demonstrated that ACE inhibitor captopril, a derivative of proline, has antioxidative properties,^{13,14, 16-18} which is advantages over other drugs without this effect⁸⁻¹⁰ It has been shown that captopril inhibits oxidation of LDL *in vitro*.^{20,21} In patients with diabetes mellitus type 1, using of ACE inhibitors is more recommended as well as compositions of LDL in these subjects are more susceptible to oxidation, which is additional factor that predisposes diabetics to cardiovascular disease.^{1,11,12} Captopril therapy reduced fatal cardiovascular events by about one-half in diabetic patients with hypertension.²²

Thus, it is necessary to continue investigations elucidating different possible ways of expression of antioxidant activity of captopril. However, data about effects of captopril at therapeutic levels on oxidation of LPF (LDL+VLDL), as well as on deformability of RBC, are absent. In the present study we evaluated: a) the effects of captopril on oxidation of LPF at therapeutic concentrations; b) the preventing action of

captopril at therapeutic concentrations on the iron-caused alteration of deformability of RBC; c) antioxidant activity of solution of captopril compared with Trolox (a water-soluble analogue of vitamin E) standard and d) the hydroxyl radical scavenging potency of captopril (including its IC₅₀ value) concerning the therapeutic concentrations of captopril.

PATIENTS AND METHODS

Subjects

The Ethics Committee of the University of Tartu approved the study protocol. Blood samples from healthy volunteers aged 20 to 50 years were collected after an overnight fast and plasma was obtained by centrifugation at 1500 g for 15 min.

Reagents

Captopril (1-[2(S)-3-mercaptopro-2-methylpropionyl]-L-proline), CuSO₄, FeSO₄, terephthalic acid (1,4-benzenedicarboxylic acid), dextran sulphate Na-salt and all the other reagents, with an analytical grade, were purchased from Sigma (USA). All the used procedures met the criteria and principles described in basic literature.⁸

Isolation and Oxidation of LPF

The LPF was precipitated from 2 ml twice diluted plasma by adding 0.2 ml precipitation reagent (dextran sulphate/magnesium chloride solution 1:1 of 2% of dextran sulphate and 2M MgCl₂, pH 7.0), vortexing for 1 min and centrifuging at 1500g for 10 min.²³ In order to remove EDTA, the pellet of LPF was suspended in 2 ml 0.9% phosphate-buffered saline and reprecipitated by adding 0.1 ml precipitation reagent, vortexing and centrifuging. The pellet of LPF was dissolved in 4% phosphate-buffered saline, its content of protein was assayed²⁴ and adjusted to 2 mg protein/ml for the study of oxidation of the LPF.

The resistance of LPF to copper-catalyzed oxidation (the lag phase of LPF) was assayed according to the method described earlier.^{8,23,25} Briefly, peroxidation was initiated by the addition of a freshly prepared solution of CuSO₄ x 5H₂O (0.045mM) to the LPF (2 mg protein/ml) and the oxidizability of the LPF was evaluated by continuous monitoring (time-dependent monitoring) of the formation of diene conjugates spectrophotometrically at an absorbance maximum of 234 nm at different intervals of incubation at 37°C. To determine the effect of captopril on oxidation of the

LPF the latter was pre-incubated with the drug (0.003, 0.005 or 0.03mM) for 10 min. The kinetics of diene formation (increase in absorbance versus time) can be divided into three phases: the lag phase (insignificant increase in diene absorption), the propagation phase (rapid increase in diene absorption) and the decomposition phase. The resistance to oxidation was defined as the length of the lag phase.^[25] The lag phase/time was calculated from the interval between the intercept of the tangent of the slope of the curve with the time-scale axis.

Chromatographic Migration of RBC

The maintenance of an ideal spatial form (ability for deformation) is crucial for RBC to guarantee an ideal passage through the capillaries and therefore assure adequate microcirculation. Chromatographic migration of RBC serves as a marker of the deformability as well as functionality of the plasma membrane of RBC and membrane-attacking very potent oxidative stressors (e.g. iron) is able to alter chromatographic migration of RBC. The procedure was based on the fact that normal RBC migrate and form almost identical spot on chromatographic paper under standard conditions, whereas the membrane-attacking pro-oxidants cause alteration of normal chromatographic migration. Determination procedure was based on the method described previously^[26] and modified by us via the introduction of an additional iron-caused lipid peroxidation treatment of RBC. The latter allows assessing the resistance of RBC to membrane lipid peroxidation.

For the experiments the fasting venous blood was collected and RBCs were washed three times in 0.9% NaCl (centrifuged for 3 min at 500g after each wash). The washed and packed RBCs were diluted to 60% “hematocrit” in 0.9% NaCl. The suspension of RBCs (0.2 ml) was incubated for 60 min at 37°C with 0.3 ml 0.9% NaCl or with FeSO₄ at different concentrations. To determine the effect of captopril on the iron- caused alteration of chromatographic migration of RBC the latter were pre-incubated with the drug (0.005mM) for 10 min. Chromatographic paper filters (Filtrak-388 paper) were laid on the frames, 0.2 ml of 0.9% NaCl (an isotonic solution) was pipette onto the application point (center) of the filters and 0.02 ml of suspension of RBC (without or with iron) was pipette onto the same application point after 60 seconds. The diameters of both solvent and the sample spots were measured after 1 min and chromatographic migration of RBC values were calculated from ratio: diameter of the

sample spot/diameter of the solvent spot and expressed as arbitrary units. All assays were performed in triplicate.

Antioxidant Activity

Antioxidant Activity serves as an indicator of the real antioxidant potency of a compound investigated. This parameter was determined for captopril using the commercial Total Antioxidant Status kit (Randox Laboratories, Ltd. Crumlin, UK). In this test, ABTS (2,2'azino-di-[3-ethylbenzthiazoline sulphonate]) was incubated with peroxidase (metmyoglobin) and H₂O₂ to produce radical cation ABTS⁺. The latter has a blue-green color, which was measured at 600 nm. The investigated compound causes suppression of production of this color to a degree, which is proportional to its total antioxidant capacity. The assay was calibrated via Trolox units and the antioxidant activity value was expressed as mmol/l.

Hydroxyl Radical Scavenging Potency

Hydroxyl radicals are the most toxic free radicals, which cause damage to biomolecules and cells. Using a solution of terephthalic acid as a chemical dosimeter for hydroxyl radicals²⁷ the assay of hydroxyl radicals scavenging potency of captopril was performed. The terephthalic acid dosimeter solution contained 10mM terephthalic acid in 10mM sodium phosphate buffer at pH 7.5. Hydroxyl radicals were generated via the Fenton reaction by adding 0.01mM CuSO₄ x 5H₂O and 1mM H₂O₂ to the terephthalic acid dosimeter solution (10mM terephthalic acid in 10mM sodium phosphate buffer at pH 7.5). Captopril was dissolved in 0.9% NaCl and the latter was used as a control. The reaction product of terephthalic acid with hydroxyl radicals was measured fluorometrically at 312 nm excitation and 426 nm emission. The data were expressed as an inhibition of the peaks of terephthalic acid hydroxyl radicals by captopril in percentage. The IC₅₀ value for captopril was calculated by sigmoidal dose-response (variable slope) analysis.

Statistical Analysis

The results were expressed as the mean ± SD. The One-Way ANOVA was used to compare the differences between captopril and control, and the IC₅₀ value for captopril

was calculated by sigmoidal dose-response analysis (Prism 2.0 (GraphPad Software Inc., San Diego, CA, USA). Statistical significance was defined as $p < 0.05$.

RESULTS

As shown in Table 1 captopril significantly ($p < 0.05$) elongates the lag-phase of the LPF at therapeutic concentrations (62 ± 8 and 78 ± 8 min, respectively for 0.003 and 0.005 mM of captopril) compared with control (40 ± 6 min). At non-clinical level of captopril (0.03mM) such effect was not significantly higher.

Effects of captopril at therapeutic concentrations on the iron-caused alteration of chromatographic migration of RBCs are presented on the Figure. At therapeutic level captopril was able to avoid the iron-caused alterations of chromatographic migration of RBCs up to high (up to 0.4mM) concentration of iron.

Table 2 shows that captopril has remarkable antioxidant activity in comparison with Trolox, characterized by 2.65 ± 0.40 mmol/l (Trolox standard has value 1.65 mmol/l).

On the basis of the enhancing effects on resistance of LPF and remarkable antioxidative activity of captopril we attempted to elucidate the hydroxyl radical scavenging potency of captopril. The data presented in Table 2 indicate that captopril scavenges hydroxyl radicals induced in the Fenton reaction. Based on the dose-dependent experiments we calculated its IC₅₀ (a concentration of captopril required to reduce hydroxyl radicals formation to 50%), which was 0.043 ± 0.007 mM.

DISCUSSION

Our findings of this study were that captopril elongates the lag-phase of LPF and avoids an iron-caused alteration of chromatographic migration of RBC already at therapeutic concentrations as well as has relative high antioxidant activity and exhibit potency for scavenging of hydroxyl radicals.

Recent studies indicate that ACE inhibitors may provide multiple favorable effects even when used in patients without hypertension and heart failure.¹ There has been demonstrated the antioxidantity of captopril,^{13,14,16,17} but absent definite evidence about mechanisms underlie such effects. Concerning the latter property it should be noted that the investigated concentrations of captopril were in most studies higher than used in actual clinical practice. The oral administration of captopril range is 50 - 100

mg per day results in plasma level 0.003 - 0.008 mM.^{28,29} However, the effects of captopril at clinical levels on oxidation of LPF, as well as on deformability of RBC are unexplored.

This study revealed that pre-incubation with captopril at its therapeutic concentrations remarkably increased resistance of plasma LPF to oxidation (Table 1). Considering the recent evidence that modification of plasma LPF caused by severe OxS,²⁸ that plays the crucial role in the pathogenesis of atherosclerosis, our data refer to possibility that one of the favorable effects of captopril may be its antiatherogenic action.

We also investigated the antioxidative effects of captopril *in vivo* (data not shown). In five hypertensive humans we measured different biomarkers related to OxS and atherogeneity before and after eight weeks treatment of captopril (100 mg per day). Although, the number of patients is too small for statistical analysis, captopril has distinct trend to reduce level of homocysteine (known both as pro-oxidant and an independent atherogenic factor) of the and diene conjugates and increase the lag-phase of oxidative LDL. These data also support evidence that captopril has several antioxidative and antiatherogenetic effects *in vivo*.

ACE inhibitors, including captopril, are reported to have some anti-inflammatory activity and are widely used in the treatment of congestive heart failure, chronic renal failure and diabetic nephropathy. Captopril has been found to be capable of providing protection against arrhythmias caused by ischemia - reperfusion. These and several other unhealthy conditions are accompanied by substantial release of iron. Free iron is an extremely potent pro-oxidant, which initiates the burst of highly toxic hydroxyl radicals.⁸ Thus, any drug, which is able also to avoid the extremely adverse actions of iron, has a higher therapeutic impact compared with compounds lacking such effect. It has been shown that captopril is able at high concentrations (at non-clinical levels) to protect RBC from hemolysis caused by high concentrations of non-physiological pro-oxidants.^{30,31} However, we demonstrated for the first time that already at therapeutic concentrations captopril was able to avoid the iron-caused alterations of deformability of RBC (Figure). This is quite interesting information regarding the following aspects: a) the maintenance of an ideal spatial form (ability for easy deformation) is crucial for RBC to guarantee an ideal passage through the capillaries and to sustain a needed microcirculation during any treatment, and b) established protective effect of captopril against free iron may be valid also concerning other blood cells. We agree with the conception that the protective effect of captopril is based not

only on its iron-binding properties,³² as protective effect of captopril was expressed also at concentrations of iron which are higher than the level of iron-saturation of captopril (data not shown). Thus, captopril may diminish OxS-driven damages both via metal chelation and free radical scavenging.¹⁸

The antioxidant activity of captopril should be rarely questioned, despite that has been demonstrated that captopril at therapeutic concentrations fails to enhance antioxidative properties as well as protect endogenous biomolecules against oxidative damage in human plasma.^{15,33} It is obvious that short-time administration of therapeutic doses of captopril cannot change the total antioxidant capacity of human plasma, because easy alteration of such basic homeostatic parameter of human plasma is avoided by special potent systems in human body. Our findings, that captopril has antioxidant activity and exhibit potency for scavenging of hydroxyl radicals (Table 2) support the knowledge about beneficial clinical effects, *via* reduction of high-grade OxS-driven events, of captopril in several clinical conditions. In addition, considering the information that the target-dose of captopril can be increased over 100 mg per day the value of IC₅₀ for hydroxyl radical scavenging potency of captopril holds also the attention.¹⁸

CONCLUSIONS

We consider that, therapeutic concentrations of captopril enhance resistance of plasma LPF to oxidation as well as avoid an iron - caused alteration of chromatographic migration of RBC. Antioxidant activity and potency for scavenging of hydroxyl radicals of captopril (also supported by human pilot data, including decrease of homocysteine level) facilitate to explain more clearly beneficial clinical effects of captopril.

ACKNOWLEDGMENTS

This study was supported by grants of the Estonian Scientific Foundation (5327) and authors also thank The Blood Centre of University Clinics of Tartu.

REFERENCES

1. J.H. O'Keefe, M. Wetzel, R.R. Moe, K. Brosnahan and C.J. Lawie (2001) Should an angiotensin-converting enzyme inhibitor be standard therapy for patients with atherosclerotic disease? *Journal of the American College of Cardiology*, **37**, 1-8.
2. M.T. Quinn, S. Parthasarathy, L.G. Fong and D. Steinberg (1987) Oxidatively modified low-density lipoproteins a potential role in recruitment and retention of monocyte/ macrophages during atherogenesis. *Proceedings of the National Academy of Sciences*, **84**, 2995-2998.
3. H. Esterbauer, J. Gbicki, H. Puhl and G. Jürgens (1992) The role of lipid peroxidation and antioxidants in the oxidative modification of LDL. *Free Radical Biology and Medicine*, **13**, 341-390.
4. D.A. Cox and M.L. Cohen (1996) Effects of low-density lipoprotein on vascular contraction and relaxation: clinical and pharmacological implications in atherosclerosis. *Pharmacological Reviews*, **48**, 1-19.
5. I. Jialal and S. Devaraj (1996) Low-density lipoprotein oxidation, antioxidants and atherosclerosis: a clinical biochemistry perspective. *Clinical Chemistry*, **42**, 489-506.
6. G.H.R. Rao and S. Parthasarathy (1996) Antioxidants, atherosclerosis and thrombosis. *Prostaglandin, Leucotrienes and Essential Fatty Acids*, **54**, 155-166.
7. F. Calara, P. Dimayuga, A. Niemann, J. Thyberg, U. Diczfalusy, W.P. Witztum, P.K. Shah, B. Cersek, J. Nilsson and J. Rengström (1998) An animal model to study local oxidation of LDL and its biological effects in the arterial wall. *Arteriosclerosis, Thrombosis and Vascular Biology*, **18**, 884-893.
8. B. Halliwell and J.M.C. Gutteridge (1999) Free radicals, other reactive species and disease. In Free Radicals in Biology and Medicine. Third edition. Oxford University Press, New York.
9. O.I. Aruoma (1996) Characterization of drugs as antioxidant prophylactics. *Free Radical Biology and Medicine*, **20**, 675-705.
10. W. Westlin and K. Mullane (1988) Does captopril attenuate reperfusion-induced myocardial dysfunction by scavenging free radicals? *Circulation Supplement I*, **77**, 1-39.
11. A. Liguori, P. Abete, J.M. Hayden, F. Cacciatore, F. Rengo, G. Ambrosio, D. Bonaduce, M. Condorelli, P.D. Reaven, and C. Napoli (2001) Effect of glycaemic control and age on low-density lipoprotein susceptibility to oxidation in diabetes mellitus type 1. *European Heart Journal*, **22**, 2075-2084.
12. J. Valabhji and R.S. Elkeles (2001) Type 1 diabetes and ageing: does LDL oxidation mediate their associations with coronary heart disease? *European Heart Journal*, **22**, 2045-2047.
13. D. Bagchi, R. Prasad and D.K. Das (1989) Direct scavenging of free radicals by captopril, an angiotensin converting enzyme inhibitor. *Biochemical Biophysical Research Communications*, **158**, 52-57.
14. M. Chopra, N. Scott and J. McMurray (1989) Captopril: a free radical scavenger. *British Journal of Clinical Pharmacology*, **27**, 396-399.
15. O.I. Aruoma, D. Akanmu, R. Cecchini and B. Halliwell (1991) Evaluation of the ability of the angiotensin-converting enzyme inhibitor captopril to

- scavenging reactive oxygen species. *Chemical Biological Interactions*, **77**, 303-314.
- 16. Benzie, I.F.F., Tomlinson, B. & Critchley, A.H., 1997. Free radical scavenging activity of captopril in human plasma (letter). *Journal of Clinical Pharmacology*, **44**, 209-210.
 - 17. T. Hayek, J. Attias, J. Smith, J.L. Breslow and S. Keidar (1998) Antiatherosclerotic and antioxidative effects of captopril in apolipoprotein E-deficient mice. *Journal of Cardiovascular Pharmacology*, **31**, 540-544.
 - 18. M. Tamba and A. Torregani (2000) Free radical scavenging and copper chelation: a potentially beneficial action of captopril. *Free Radical Research*, **32**, 199-211.
 - 19. S. Keidar, J. Oikine, A. Leiba, C. Shapira, M. Leiba and M. Aviram (1994) LDL isolated from patients with essential hypertension exhibit increased propensity for oxidation and enhanced uptake by macrophage: a possible role for angiotensin II. *Atherosclerosis*, **107**, 71-84.
 - 20. E.G. Godfrey, J. Stewart, H.J. Dargie, J.L. Reid, M. Dominiczak, C.A. Hamilton and J. McMurray (1994) Effects of ACE inhibitors on oxidation of human low density lipoprotein. *British Journal of Clinical Pharmacology*, **37**, 63-66.
 - 21. B. Zieden, D.M. Wuttge, B.E. Karlberg and A.G. Olsson (1995) Effects of in vitro addition of captopril on copper-induced low density lipoprotein oxidation. *British Journal of Clinical Pharmacology*, **39**, 201-203.
 - 22. L. Niskanen, T. Hedner, L. Hansson, J. Lanke and A. Niklason (2001) Reduced cardiovascular morbidity and mortality in hypertensive diabetic patients on first-line therapy with an ACE inhibitor compared with a diuretic/beta-blocker-based treatment regimen: a subanalysis of the captopril prevention project. *Diabetes Care*, **24**, 2091-2096.
 - 23. A. Zhang, J. Vertommen, L. Van Gaal and I. De Leeuw (1994) A rapid and simple method for measuring the susceptibility of low-density-lipoprotein and very-low-density-lipoprotein to copper catalyzed oxidation. *Clinica Chimica Acta*, **227**, 159-173.
 - 24. O.H. Lowry, N.J. Rosenbrough, A.L. Farr and R.J. Randall (1951) Protein measurement with the folin phenol reagent. *Journal of Biological Chemistry*, **193**, 265-275.
 - 25. H. Esterbauer, G. Striegl, H. Puhl and M. Rotheneder (1989) Continuous monitoring of in vitro oxidation of human low density lipoprotein. *Free Radical Research Communications*, **6**, 67-75.
 - 26. A.P. Vasilyev (1991) Estimation of red cell deformability index. *Laboratornoe Delo*, **9**, 44-46.
 - 27. J.C. Barreto, G.S. Smith, N.H.P. Strobel, P.A. McQuillin and T.A. Miller (1995) Terephthalic acid: a dosimeter for the detection of hydroxyl radicals in vitro. *Life Sciences*, **56**, 89-96.
 - 28. W.A. Creasey, P.T. Funke, D.N. McKinstry and A.A. Sugerman (1986) Pharmacokinetics of captopril in elderly healthy male volunteers. *Journal of Clinical Pharmacology*, **26**, 264-268.
 - 29. M.E. Franklin, R.S. Addisson, P.V. Baker and W.D. Hooper (1998) Improved analytical procedure for measurement of captopril in human plasma by gas chromatography – mass spectrometry and its application to pharmacokinetic studies. *J. Chromatogr. Biomed. Sci. Appl.*, **705**, 47-54.

30. A.C. Fernandes, P.M. Filipe, J.P. Freitas and C.F. Manso (1996) Different effects of thiol and nonthiol ACE inhibitors on copper-induced lipid and protein oxidative modification. *Free Radical Biology and Medicine*, **20**, 507-514.
31. M. Bartosz, J. Kedziora and G. Bartosz (1997) Antioxidant and prooxidant properties of captopril and enalapril. *Free Radical Biology and Medicine*, **23**, 729-735.
32. J.P. Schaefer, Y. Tam, B.B. Hasinoff, S. Tawfik, Y. Peng, L. Reimche and N.R.C. Campbell (1998) Ferrous sulphate interacts with captopril. *British Journal of Clinical Pharmacology*, **46**, 377-381.
33. D. Lapenna, S. De Gioia, G. Ciofani, F. Daniele and F. Cuccurullo (1996) Captopril has no significant scavenging antioxidant activity in human plasma in vitro or in vivo. *British Journal of Clinical Pharmacology*, **42**, 451-456.
34. Dickstein K, Kjekshus J. Effects of losartan and captopril on mortality and morbidity in high-risk patients after acute myocardial infarction: the OPTIMAAL randomised trial. *The Lancet* 2002; **360**: 752-60.
35. ACE Inhibitor Myocardial Infarction Collaborative Group. Indications for ACE inhibitors in the early treatment of acute myocardial infarction: systematic overview of individual data from 100 000 patients in randomised trials. *Circulation* 1998; **97**: 2202-12.

Table 1. The effects of captopril on lag-phase of plasma LPF.

Captopril concentration (mM)	Lag-phase of LPF (min)		Lag-phase increase by captopril (min)
	Control	Captopril	
0.003 (n= 4)	40 ± 6	62 ± 8	22 ± 12 (p < 0.05)
0.005 (n = 4)	40 ± 6	78 ± 8	38 ± 10 (p < 0.05)
0.03 (n = 4)	47 ± 7	89 ± 12	42 ± 15 (p ≤ 0.05)

All values are given as mean ± SD. LPF = non high-density lipoprotein fraction.

Table 2. Total antioxidative capacity and hydroxyl radicals scavenging potency of captopril.

Captopril concentration (mM)	Total antioxidant capacity (mmol/l)	IC ₅₀ (mM)
0.03	2.65 ± 0.4 (n = 3)	0.043 ± 0.007 (n = 5)

All values are given as mean ± SD

IC₅₀ is the concentration of captopril that reduces formation of the hydroxyl radicals to 50% of its normal value (it is calculated based on a dose-dependent data from the hydroxyl radical scavenging experiments).

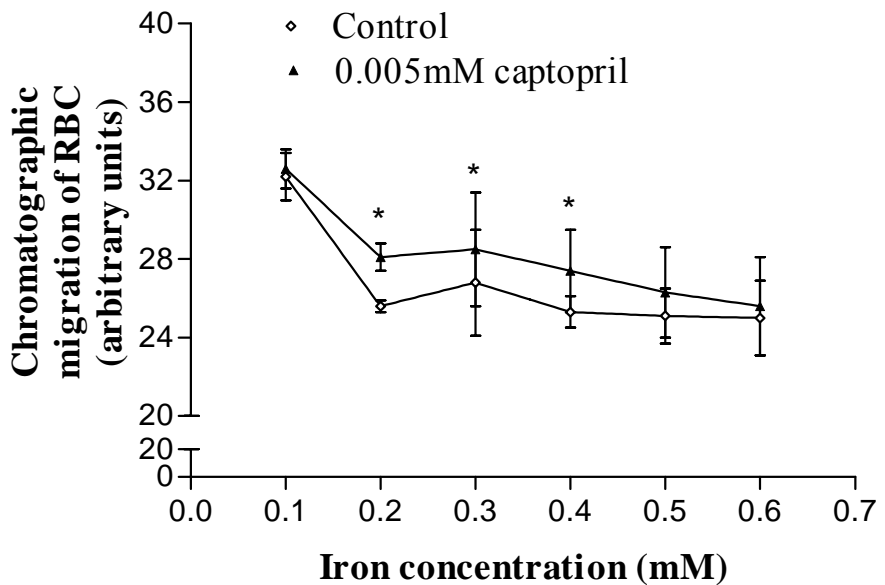


Figure. The protective effect of captopril on the iron-caused alteration of deformability of the red blood cells (RBC). Each point represents the mean \pm SD of six experiments. The arbitrary value of normal chromatographic migration of RBC was 32.2 and captopril does not change this value. At therapeutic concentrations (0.005 mM) captopril was able to prevent the influence of iron ($p < 0.05$) up to 0.4 mM concentration of the latter. * $p < 0.05$ compared with control.